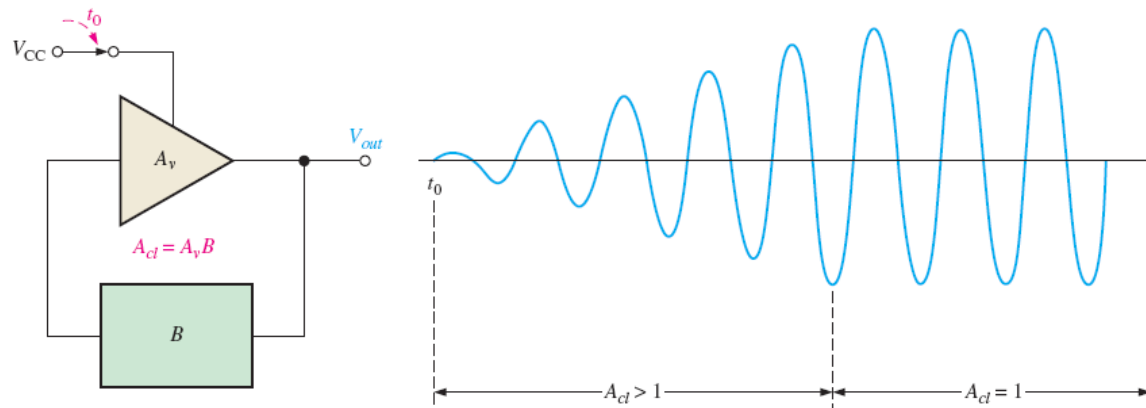


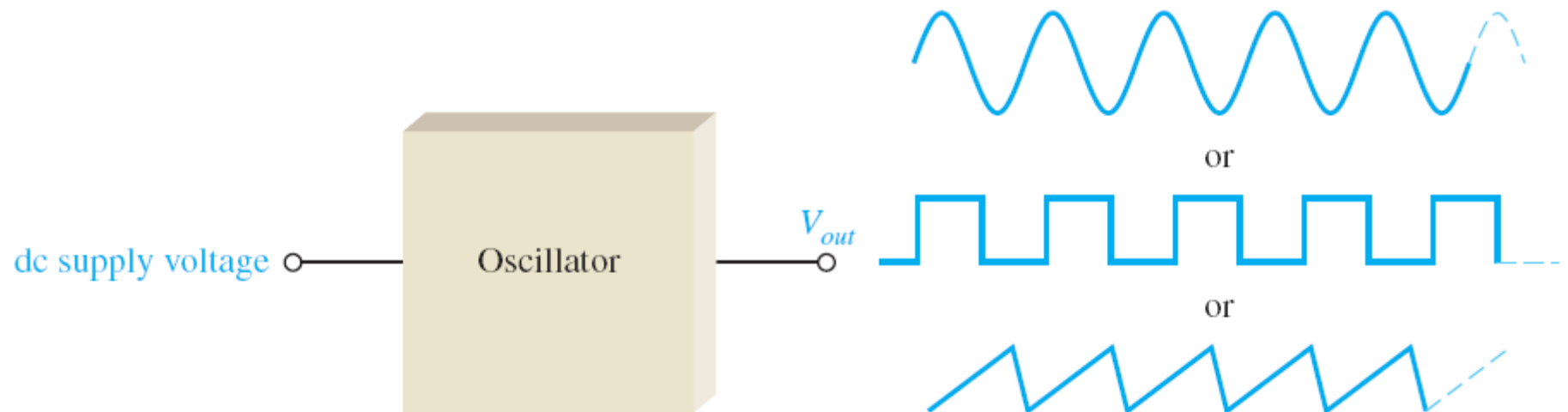
Ch. 16 Oscillators



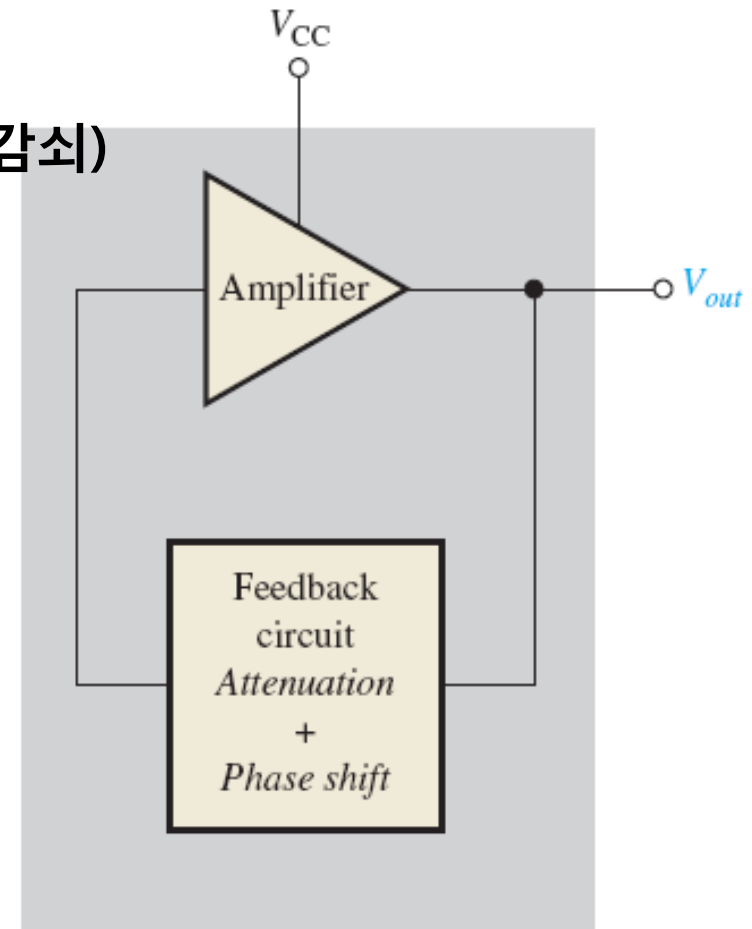
발진기(Oscillator)

Yun SeopYu

- ❊ 발진기: 전원이 인가된 상태에서 외부의 입력신호 없이 회로 자체의 동작에 의해 특정 주파수의 신호(정현파, 구형파, 삼각파, 톱니파)를 생성하는 회로
- ❊ 종류: 귀환 발진기 (Feedback oscillator), 이완 발진기 (Relaxation oscillator)



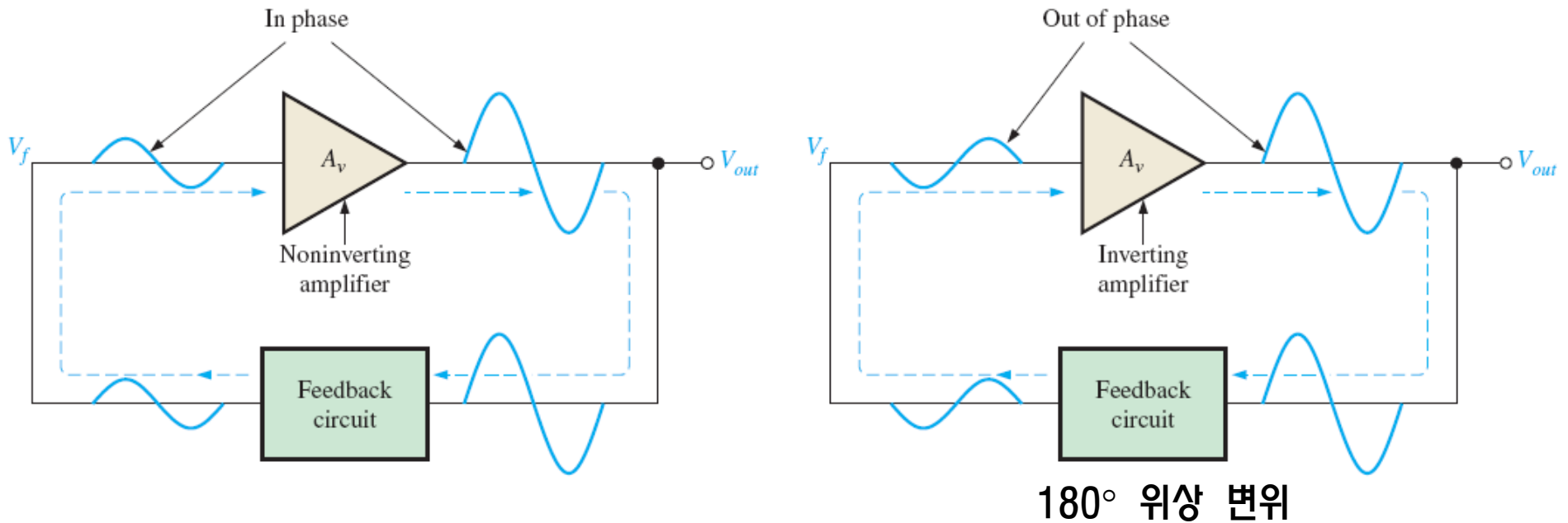
- ❁ 귀환 발진기: 출력신호의 일부분이 위상변이 없이 입력으로 인가되어 출력을 강화
 - ❁ 정귀환 이용
 - ❁ 구성: 증폭기, 정귀환회로 (위상변이와 감쇠)



- ❁ 이완발진기: RC 회로를 사용하여 구형파 등과 같은 정현파 이외의 파형 발생
 - 귀환 이용 안 함
 - 구성: 슈미트트리거 회로나 저항을 통한 캐패시터의 충전과 방전을 위한 소자

정귀환 이용

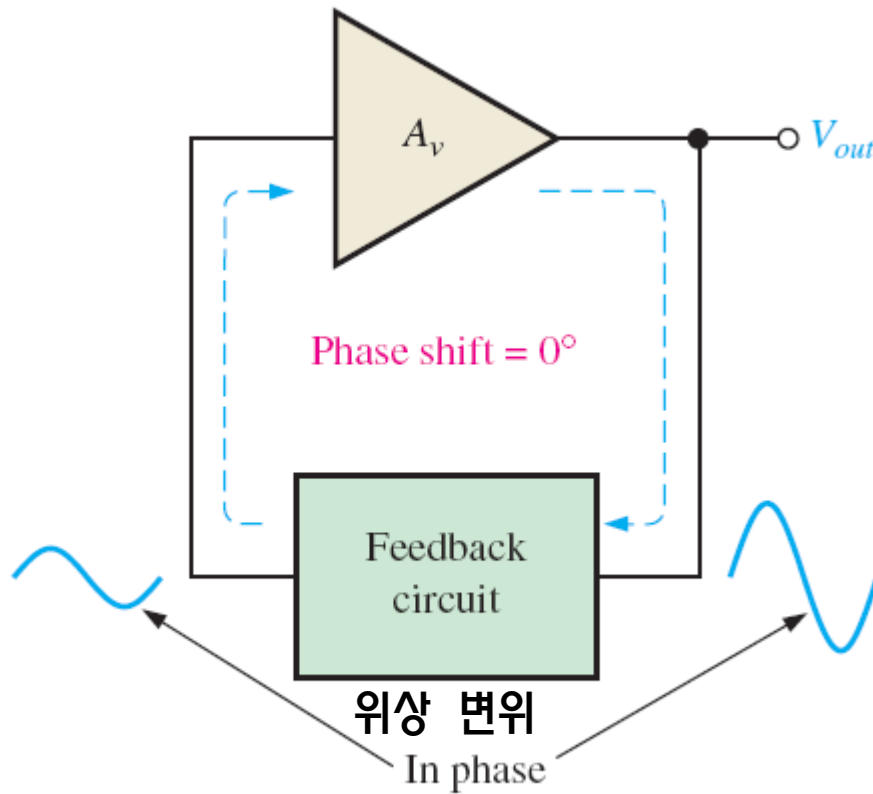
- 정귀환 : 증폭기 출력 일부가 위상변위 없이 입력에 되돌려져서 출력을 보강



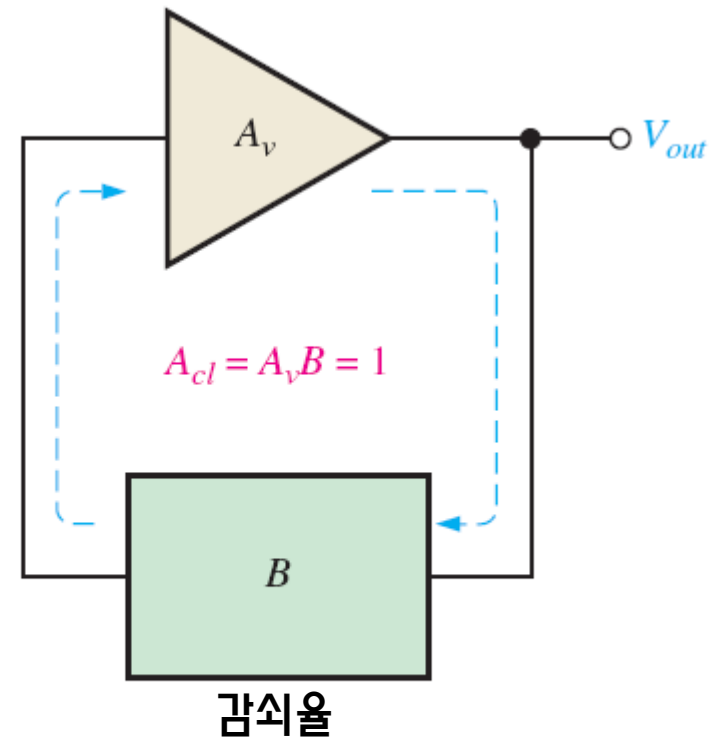
발진 조건

- 위상변위 : 0°
- 폐루프 이득 $A_{cl} = 1$ (= $A_v B$)

$$A_v B = 1 \angle 0^\circ$$



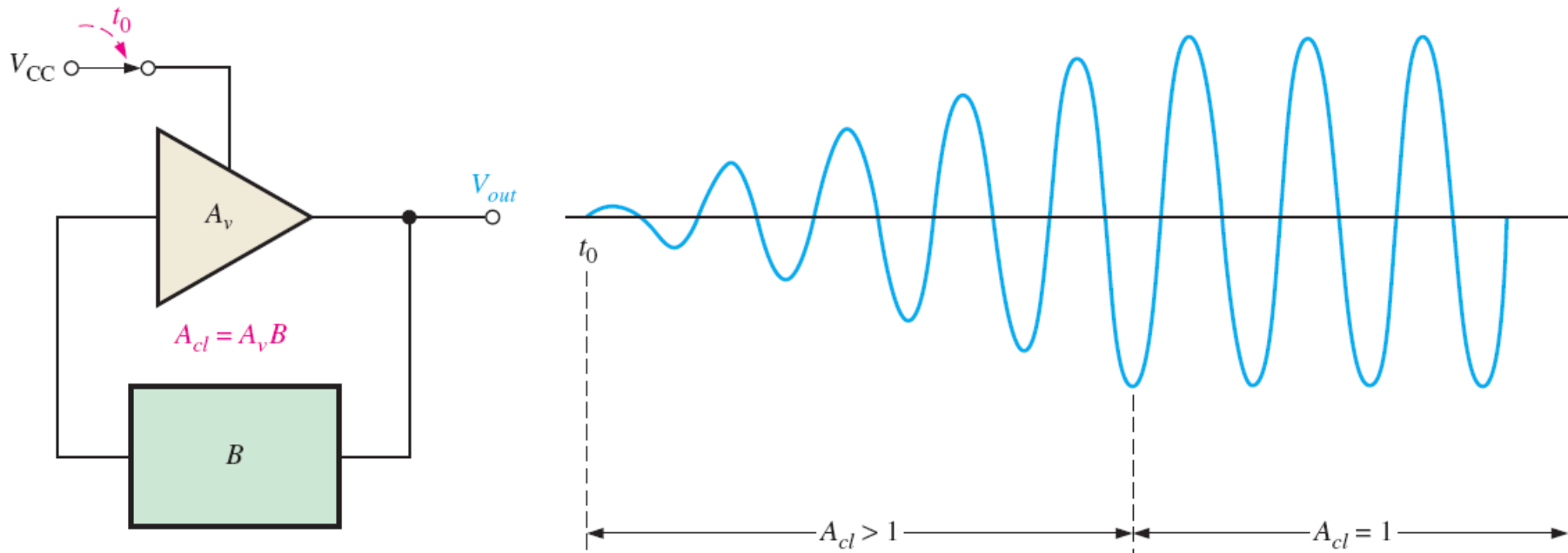
(a) The phase shift around the loop is 0° .



(b) The closed loop gain is 1.

시동(Start-up) 조건

- 직류전압이 처음 인가되었을 때 발진이 일어나기 위한 조건
- 직류전원인가시에 $A_{cl} > 1$ 일 때 출력이 원하는 레벨까지 증가하면 출력을 일정하게 유지하도록 $A_{cl} = 1$ 로 감소하여 유지



Oscillators with RC feedback circuits

Yun SeopYu

- ❖ 정현파 발진
- ❖ 종류: Wien-bridge oscillator, phase-shift oscillator, twin-T oscillator
- ❖ Wien-bridge oscillator가 가장 널리 사용
- ❖ 주파수 범위: 대개 1MHz 까지

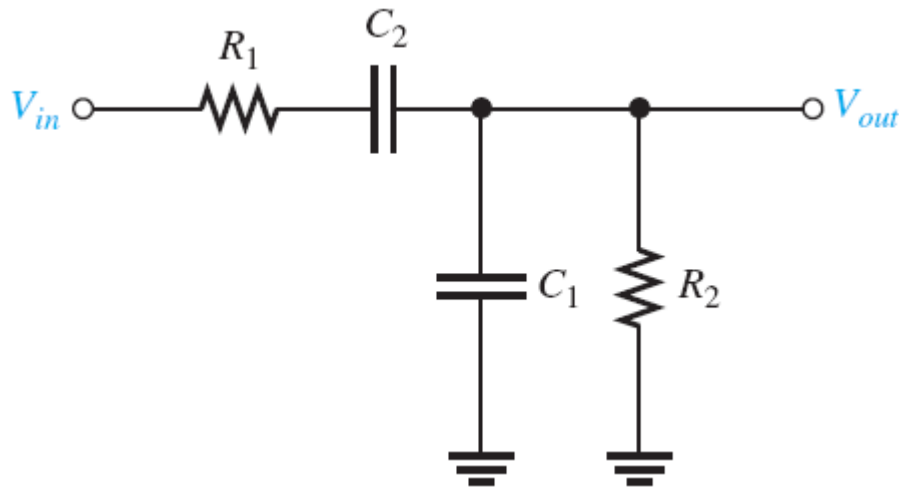
Wien-bridge oscillator

원브리지 발진기(Wien-bridge oscillator)

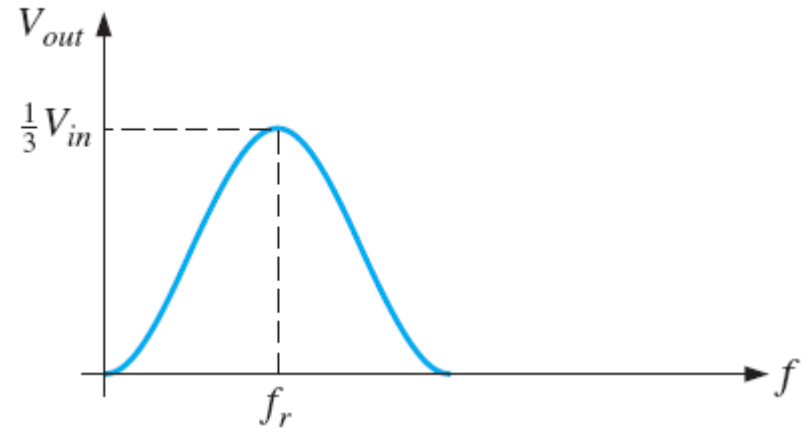
정현파 발진기

진상-지상(lead-lag) 회로로 구성:

- 지상회로: R_1, C_1 - 고주파에서 roll-off (low-pass filter)
- 진상회로: R_2, C_2 - 저주파에서 roll-off (high-pass filter)



$$R_1 = R_2 \text{ and } X_{C1} = X_{C2}$$

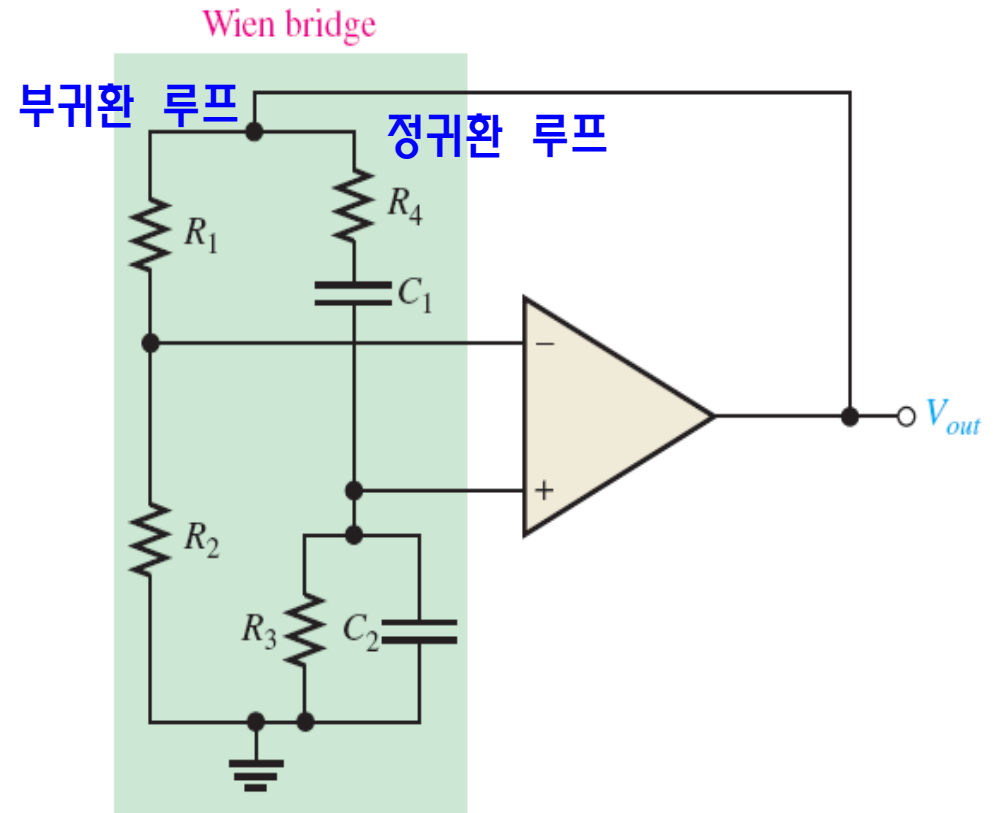
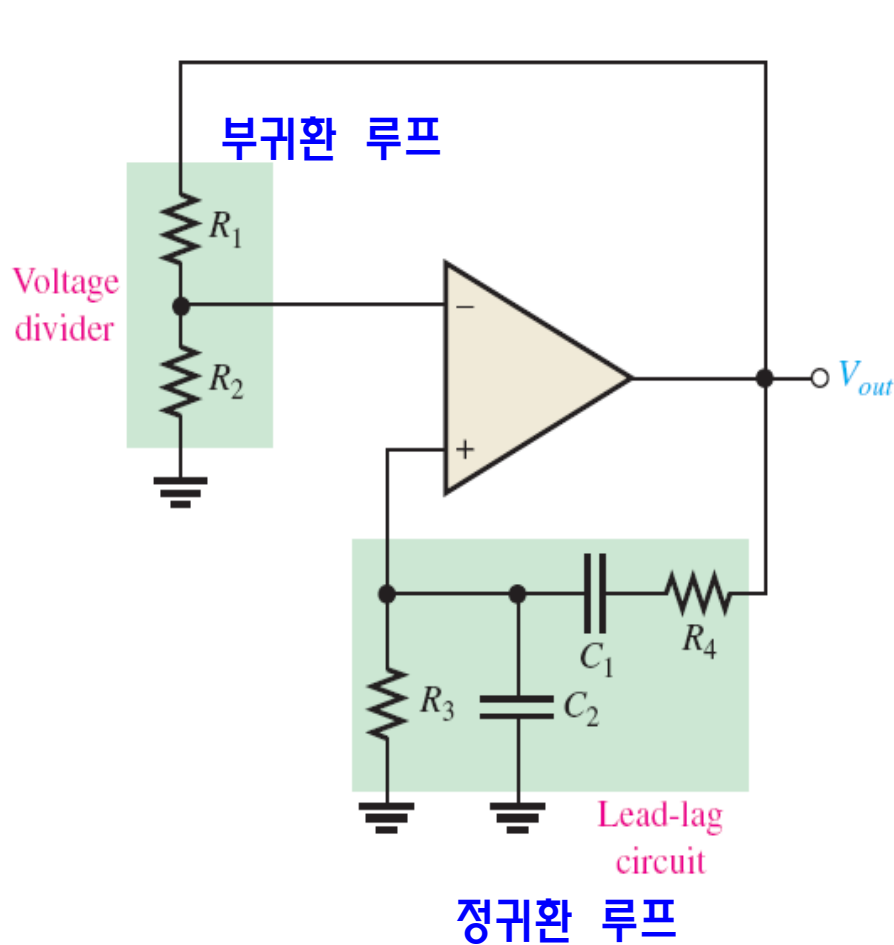


→ 공진주파수(resonance freq.)

$$\frac{V_{out}}{V_{in}} = \frac{1}{3} \quad f_r = \frac{1}{2\pi RC}$$

Wien-bridge oscillator

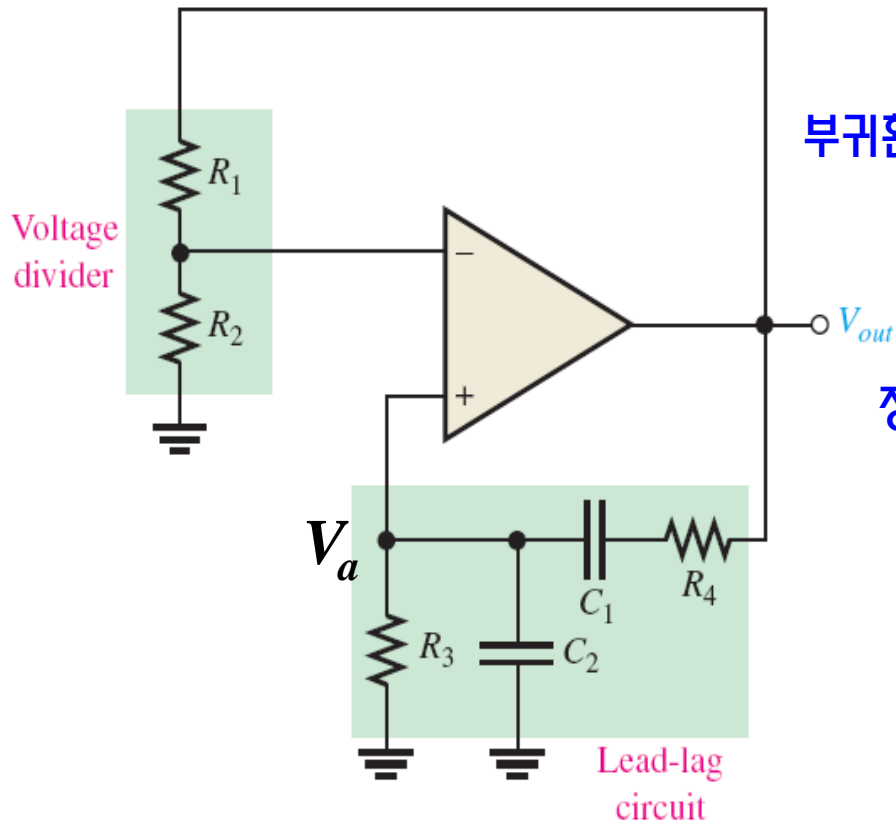
기본 회로



$$A_{cl} = \frac{1}{B} = \frac{1}{R_2/(R_1 + R_2)} = \frac{R_1 + R_2}{R_2}$$

Wien-bridge oscillator

Yun SeopYu



부귀환 루프 $A_{cl}(s) = \frac{V_{out}(s)}{V_a(s)} = 1 + \frac{R_1}{R_2}$

정귀환 루프 $R_3 = R_4 = R$
 $C_1 = C_2 = C$

$$B(s) = \frac{V_a(s)}{V_{out}(s)} = \frac{Z_C // R}{(Z_C + R) + Z_C // R}$$

$$L(s) = A_{cl}(s)B(s) = \left(1 + \frac{R_1}{R_2}\right) \frac{Z_C // R}{(Z_C + R) + Z_C // R}$$

$Z_C = 1/sC$ 이므로,

$$L(s) = \left(1 + \frac{R_1}{R_2}\right) \frac{sCR}{1 + 3sCR + s^2C^2R^2}$$

Wien-bridge oscillator

✪ 발진 조건 : $L = A_c/B = 1 \angle 0^\circ$

$s = j\omega$ 를 대입하면,
$$L(j\omega) = \left(1 + \frac{R_1}{R_2}\right) \left(\frac{j\omega CR}{1 - \omega^2 C^2 R^2 + 3j\omega CR}\right)$$

$$L(j\omega_0) = \left(1 + \frac{R_2}{R_1}\right) \left(\frac{j\omega_0 CR}{1 - \omega_0^2 C^2 R^2 + 3j\omega_0 CR}\right) = 1 \angle 0^\circ$$

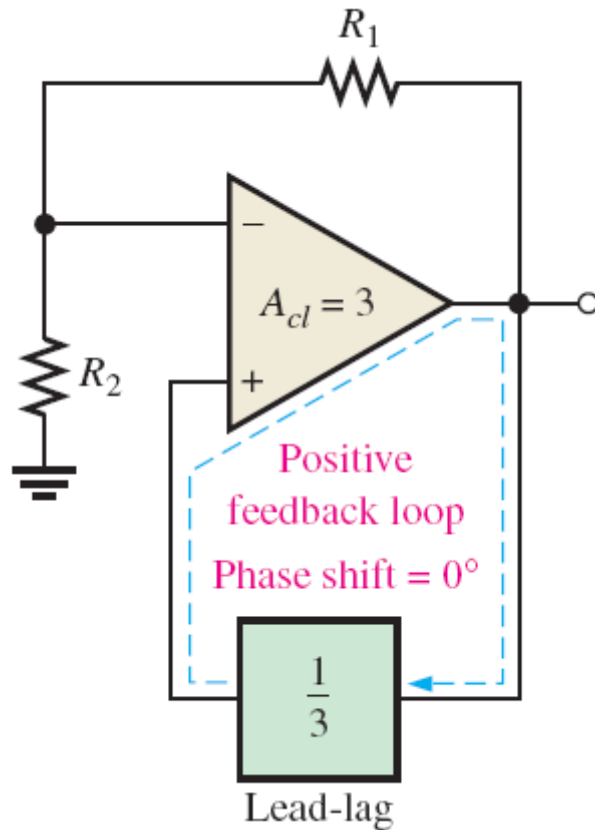
위상 조건 : $1 - \omega_0^2 C^2 R^2 = 0 \longrightarrow \omega_0 = 1/CR$

진폭 조건 : $\left(1 + \frac{R_2}{R_1}\right) \left(\frac{1}{3}\right) = 1 \longrightarrow R_2 / R_1 = 2$

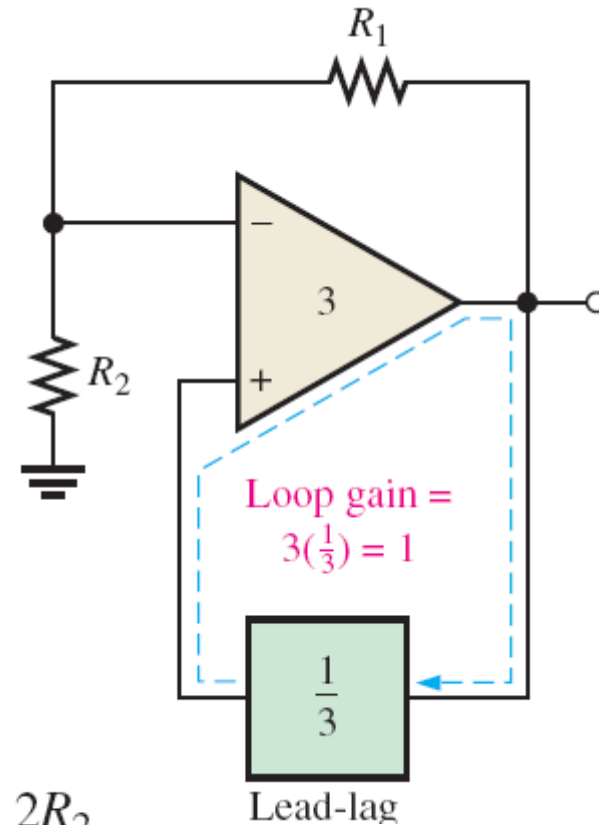
Wien-bridge oscillator

발진을 위한 정귀환 조건

위상변위 : 0°
 ← 공진주파수 f_r 에서



페루프 이득 : $A_v B = 3 \times (1/3) = 1$



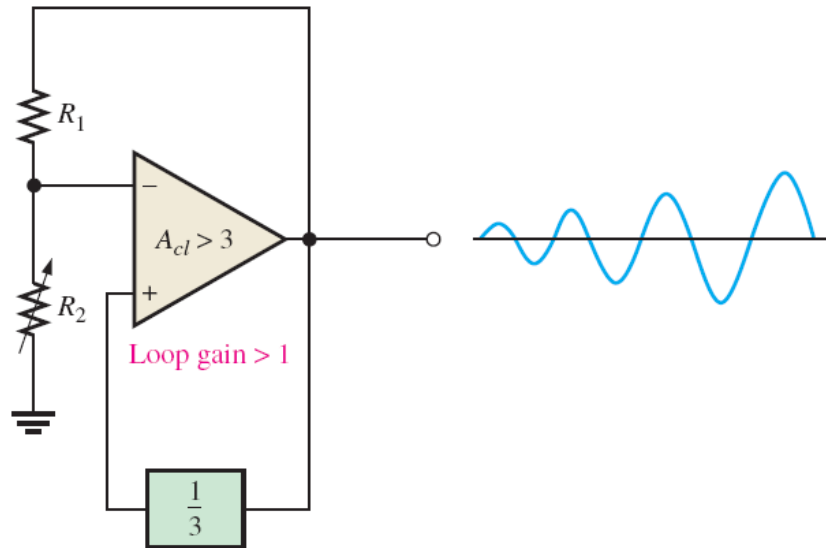
$$R_1 = 2R_2$$

$$A_{cl} = \frac{R_1 + R_2}{R_2} = \frac{2R_2 + R_2}{R_2} = \frac{3R_2}{R_2} = 3$$

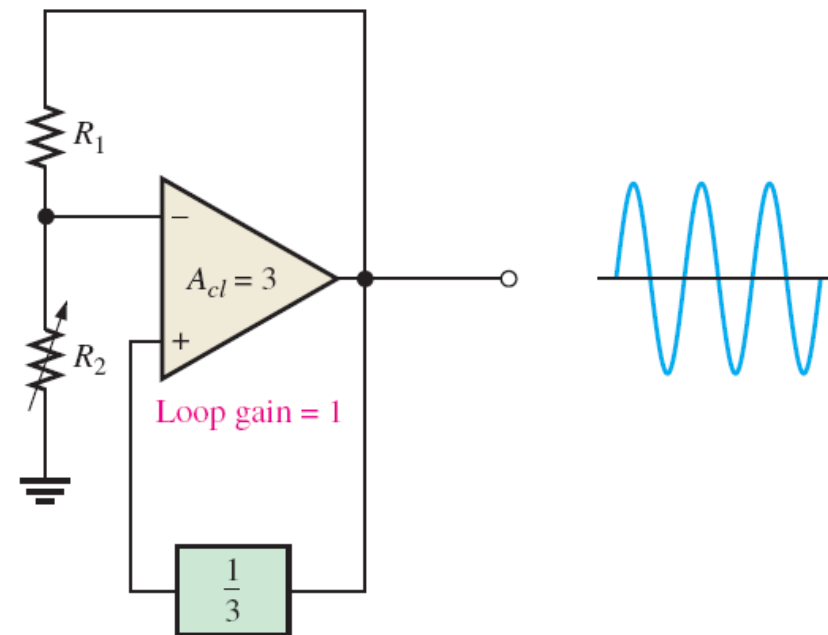
Wien-bridge oscillator

시동을 위한 조건

- 발진이 일어날 때까지 페루프 이득 3보다 커야 함 ($A_{cl} > 3$)



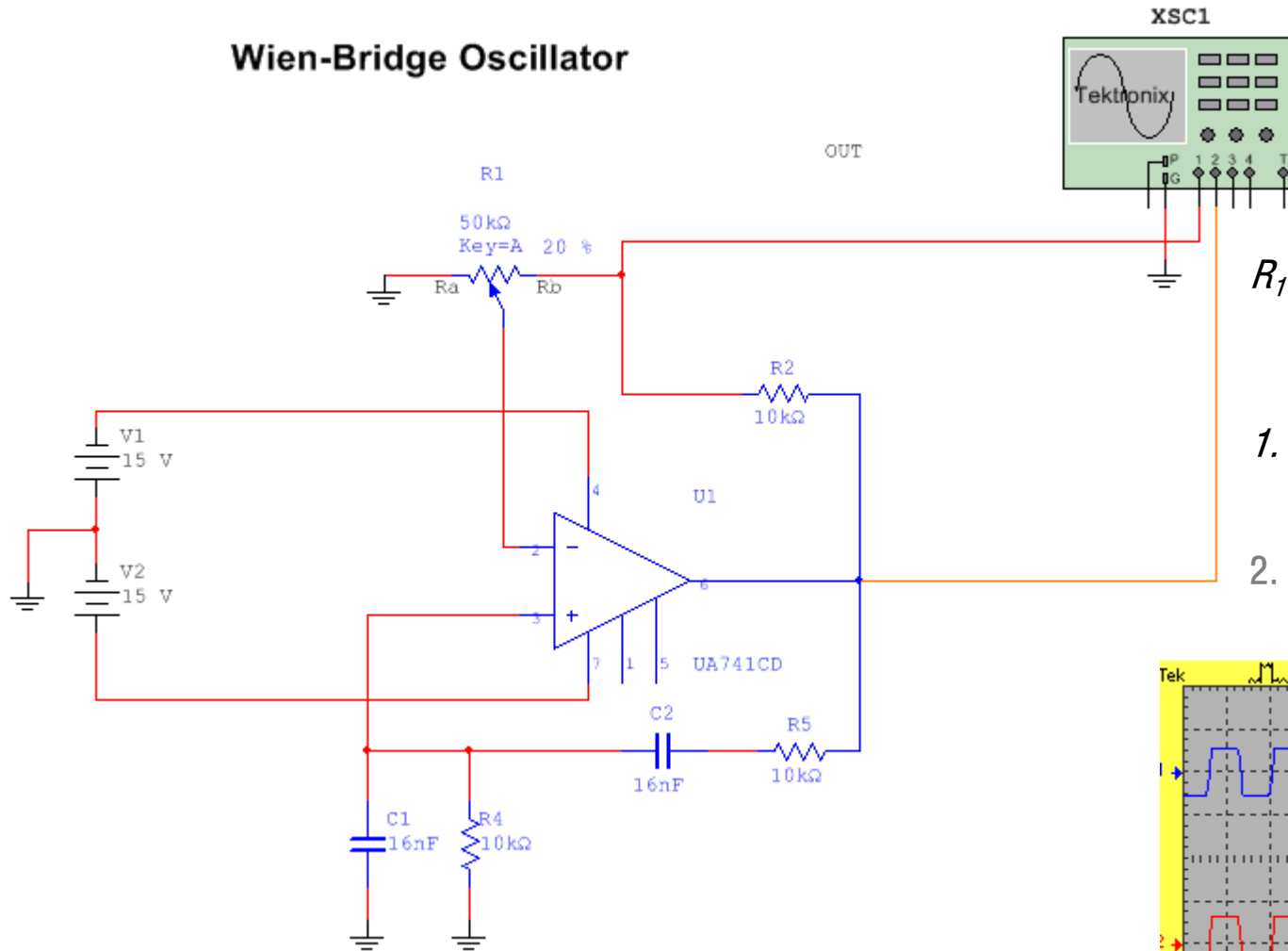
- 발진 일어난 이후: $A_{cl} = 3$ 유지



Wien-bridge oscillator - 시뮬레이션

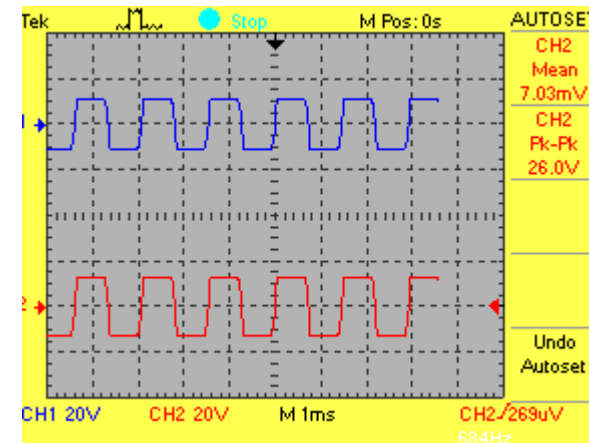
Yun SeopYu

Wien-Bridge Oscillator



R_1 40% $\rightarrow R_a=20k\Omega, R_b=30k\Omega$

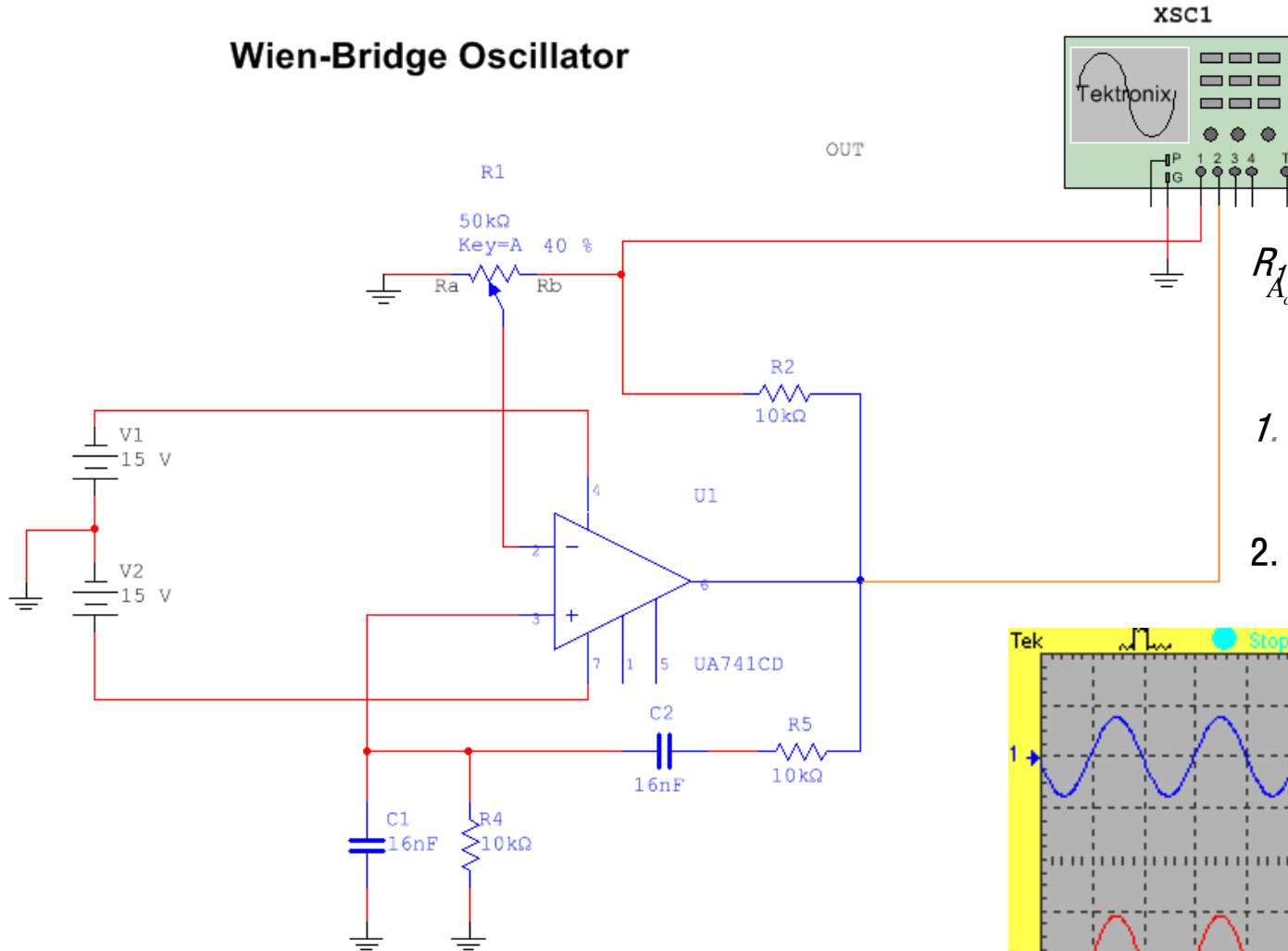
1. R_1 40% 이하에서 동작 후에
 $\rightarrow R_a \leq 20k\Omega, R_b \geq 30k\Omega$
 $\rightarrow A_{cl} > 3$ (시동조건)
2. $R_1 = 40\%$ 고정 $\rightarrow A_{cl} = 3$



Wien-bridge oscillator - 시뮬레이션

Yun SeopYu

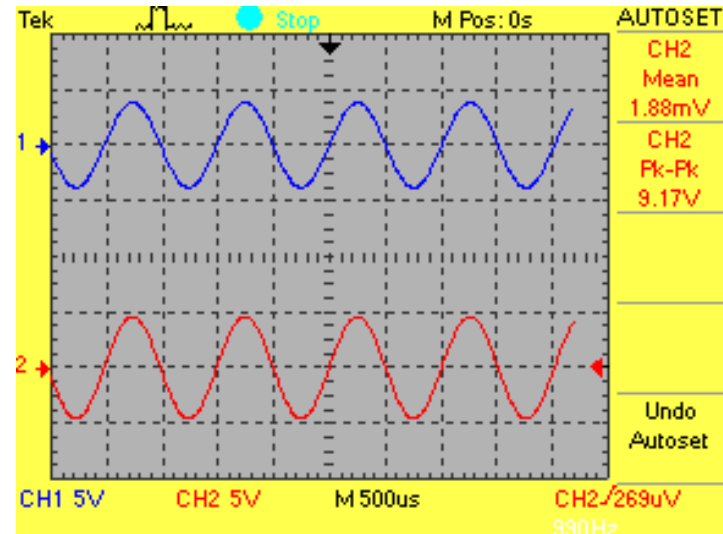
Wien-Bridge Oscillator



$$R_1 \text{ 40\% } \Rightarrow R_a = 20k\Omega, R_b = 30k\Omega$$

$$A_{cl} = \frac{R_a + R_b + R_a}{R_a} = \frac{20k + 30k + 20k}{20k} = 3$$

1. R_1 40% 이하에서 동작 후에
 $\rightarrow R_a \leq 20k\Omega, R_b \geq 30k\Omega$
 $\rightarrow A_{cl} > 3$ (시동조건)
2. $R_1 = 40\%$ 고정 $\rightarrow A_{cl} = 3$



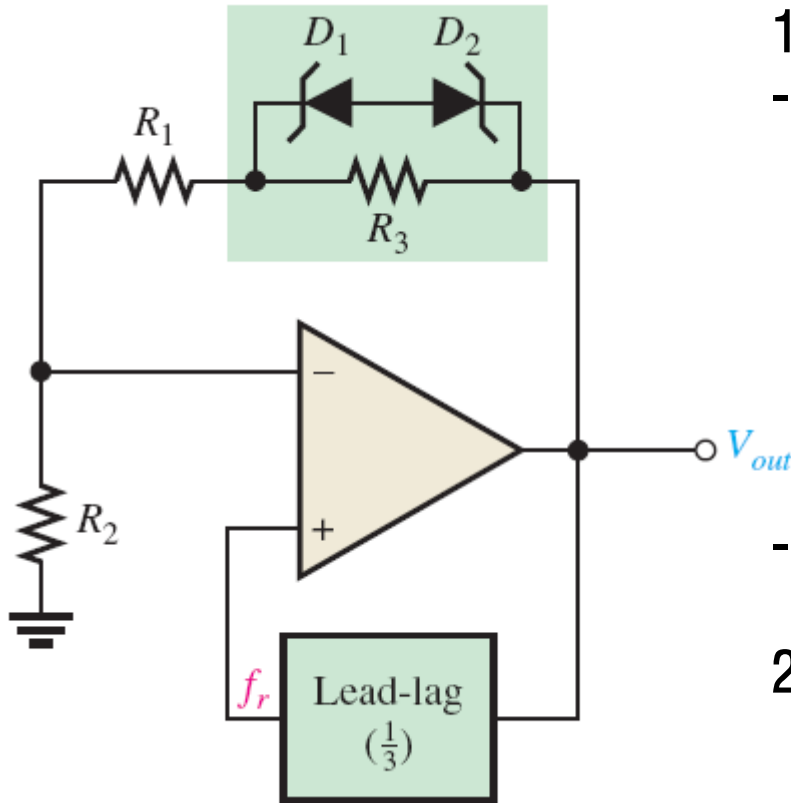
Wien-bridge oscillator

Yun SeopYu

시동을 위한 조건

발진을 유지하는 방법(예)

$$R_1 = 2R_2$$



1. 직류전압이 처음 인가되었을 때
 - 부귀환 회로: Zener Diode들 개방(open)

$$A_{cl} = \frac{R_1 + R_2 + R_3}{R_2} = \frac{3R_2 + R_3}{R_2} = 3 + \frac{R_3}{R_2} > 3$$

- 정귀환 회로: 공진주파수 f_r 에서 위상변위 0°

2. $V_{out} > V_z$: Zener Diode들 단락(short)

$$A_{cl} = \frac{R_1 + R_2}{R_2} = \frac{2R_2 + R_2}{R_2} = \frac{3R_2}{R_2} = 3$$

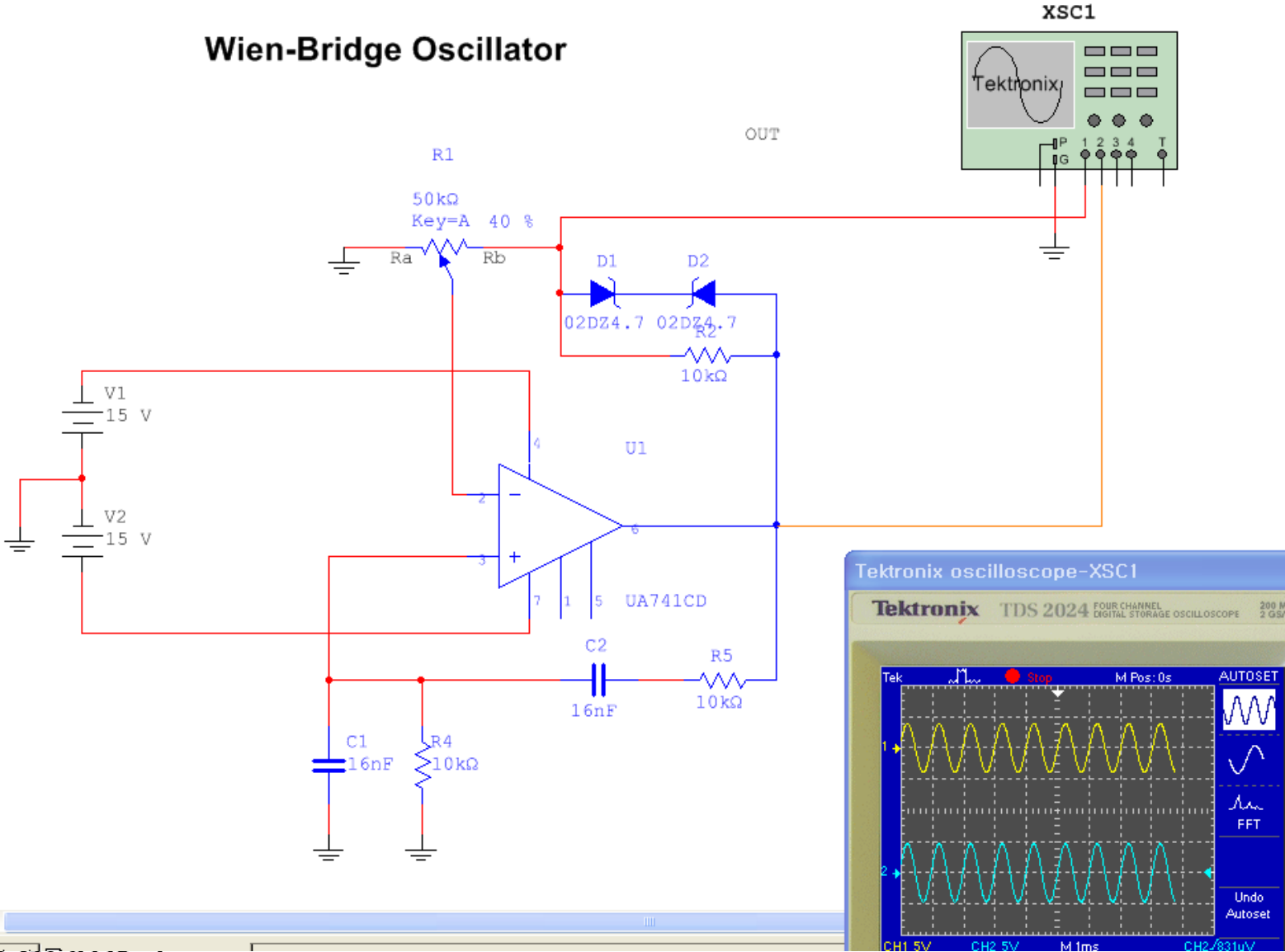
3. V_{out} 발진 유지

문제점: Non-linearity (Zener diode)

Wien-bridge oscillator

Yun SeopYu

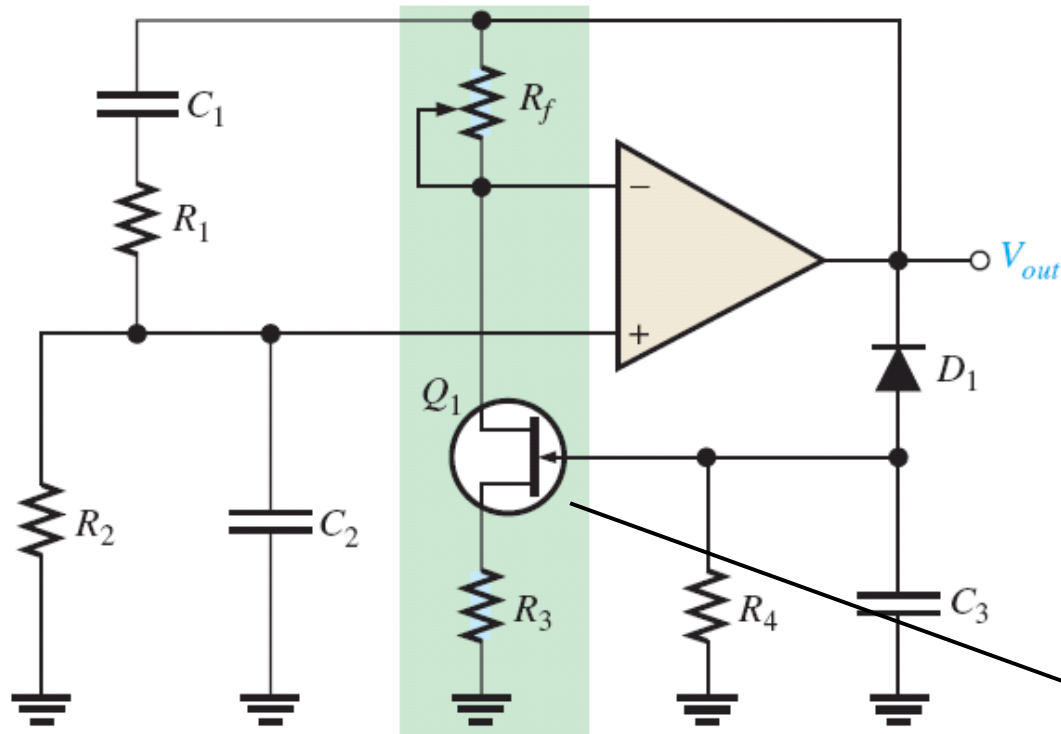
Wien-Bridge Oscillator



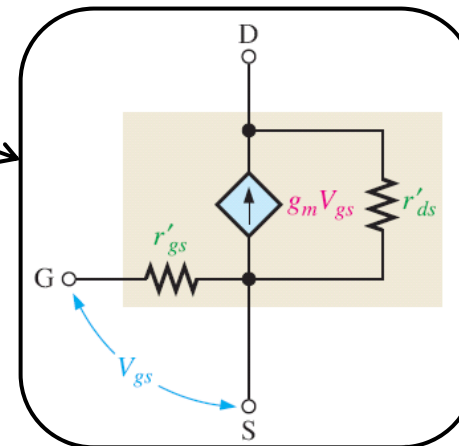
Wien-bridge oscillator

Yun SeopYu

- A better method to control the gain uses a JFET as a voltage-controlled resistor in a negative feedback path



- A JFET operating with a small or zero V_{DS} is operating in the ohmic region.
→ As the gate voltage increases, the drain-source resistance increases.
→ Automatic gain control can be achieved because of this voltage-controlled resistance.



Wien-bridge oscillator

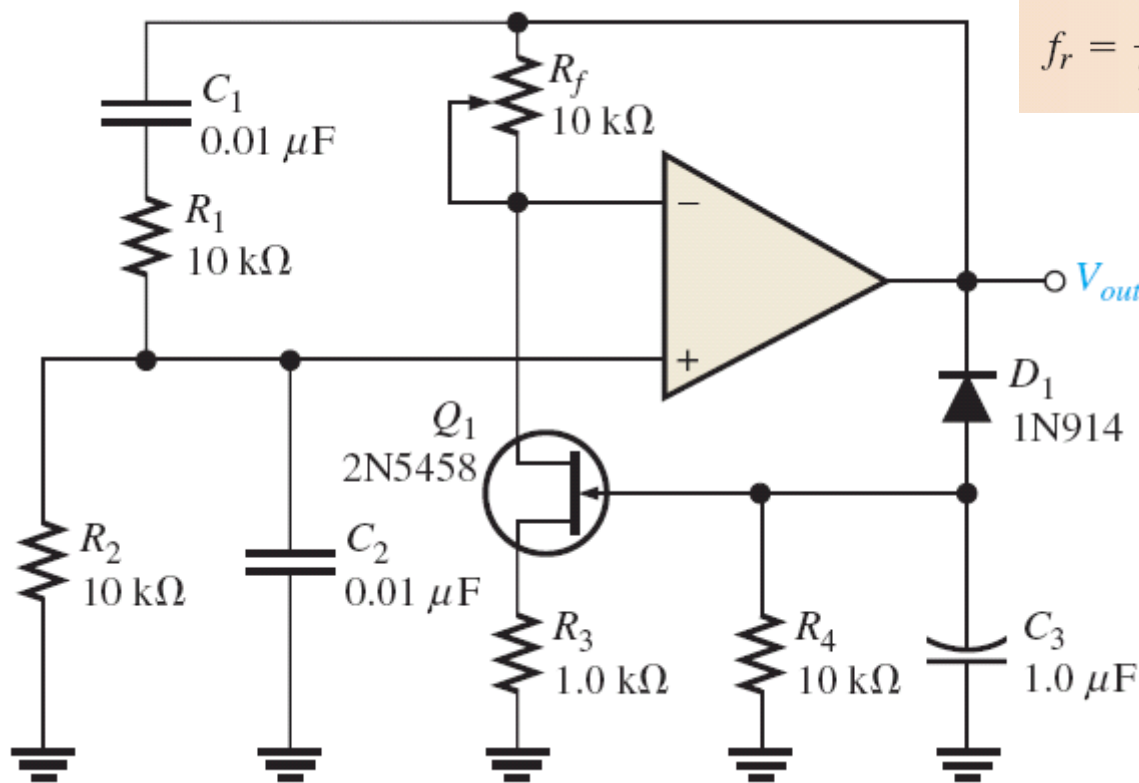
Yun SeopYu

EXAMPLE 16-1

f_r , R_f ?

Internal drain-source resistance, of the JFET is 500Ω when oscillations are stable

$$R_1 = R_2 = R = 10 \text{ k}\Omega \text{ and } C_1 = C_2 = C = 0.01 \mu\text{F}$$



$$f_r = \frac{1}{2\pi RC} = \frac{1}{2\pi(10 \text{ k}\Omega)(0.01 \mu\text{F})} = 1.59 \text{ kHz}$$

$$A_v = \frac{R_f}{R_3 + r'_{ds}} + 1 = 3$$

$$R_f = (A_v - 1)(R_3 + r'_{ds}) = (3 - 1)(1.0 \text{ k}\Omega + 500 \Omega) = 3.0 \text{ k}\Omega$$

Phase-Shift Oscillator

⊕ 위상변이 발진기(Phase-Shift Oscillator): 정현파 귀환 발진기 (sinusoidal feedback oscillator)

- 1개 RC 최대 위상 지연 = 90°
- 3개 RC 위상 지연 $\rightarrow 180^\circ$ 로 하면
- 연산증폭기 위상 지연 $180^\circ + 3$ 개 RC 위상 지연 $180^\circ = 360^\circ \rightarrow$ 발진

-위상변위 : $0^\circ \leftarrow$ 공진주파수 f_r 에서
 $-A_v B = 1$

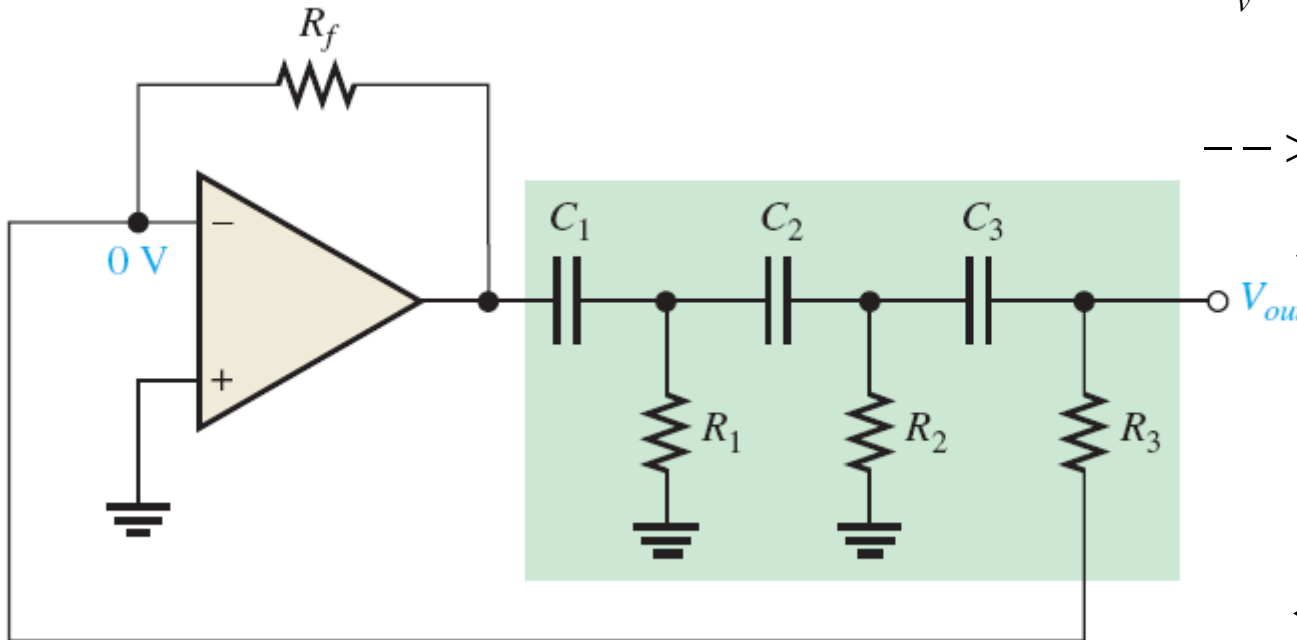
$$A_v B = \left| -\frac{R_f}{R_i} \right| \cdot B = \left(\frac{R_f}{R_3} \right) \cdot B = 1$$

$$\rightarrow B = \frac{R_3}{R_f} = \frac{1}{29}$$

\leftarrow 세개 RC 귀환회로 감쇠율

$$f_r = \frac{1}{2\pi \sqrt{6RC}}$$

$\leftarrow R_1 = R_2 = R_3 = R$ and
 $C_1 = C_2 = C_3 = C.$

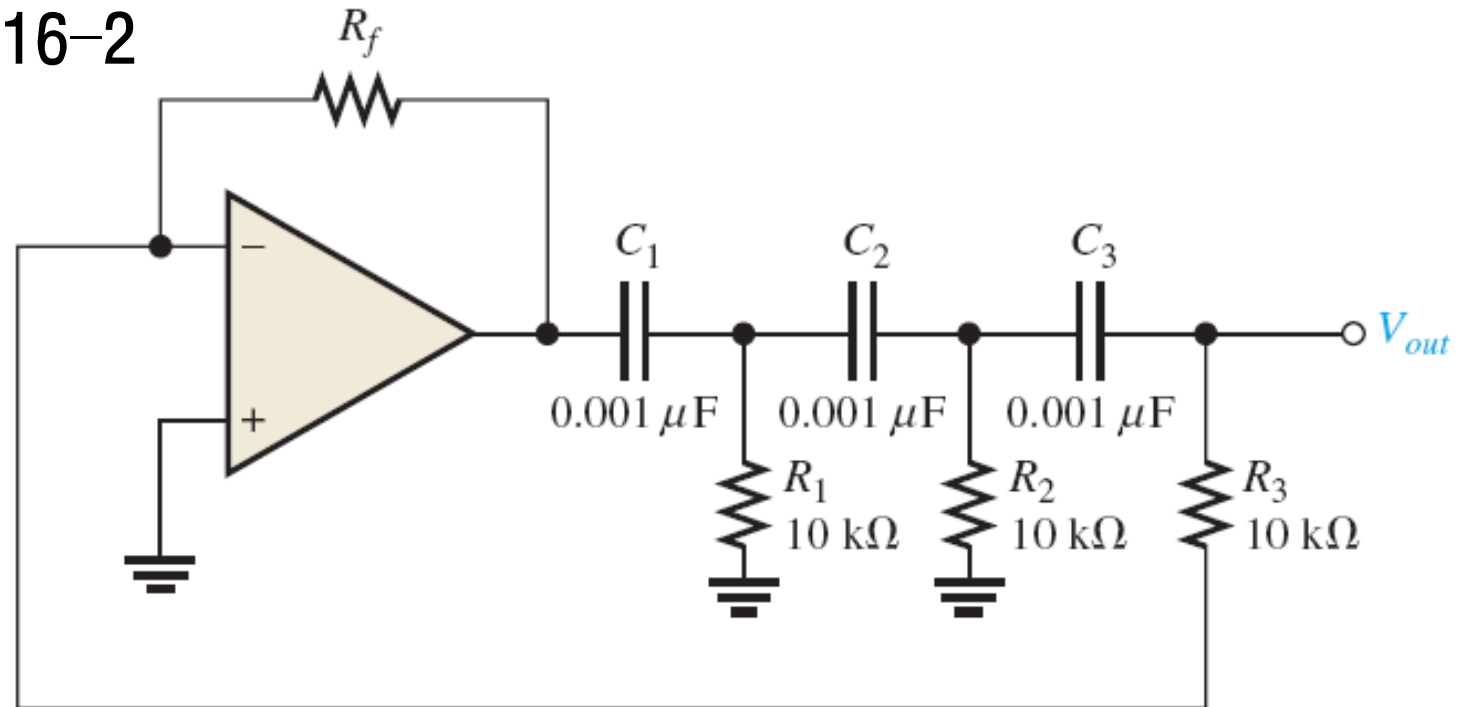


Phase-Shift Oscillator

Yun SeopYu

EXAMPLE 16-2

• f_r , R_f ?



$$A_{cl} = 29, \text{ and } B = 1/29 = R_3/R_f.$$

$$\frac{R_f}{R_3} = 29$$

$$R_f = 29R_3 = 29(10 \text{ k}\Omega) = \mathbf{290 \text{ k}\Omega}$$

$$R_1 = R_2 = R_3 = R \text{ and } C_1 = C_2 = C_3 = C.$$

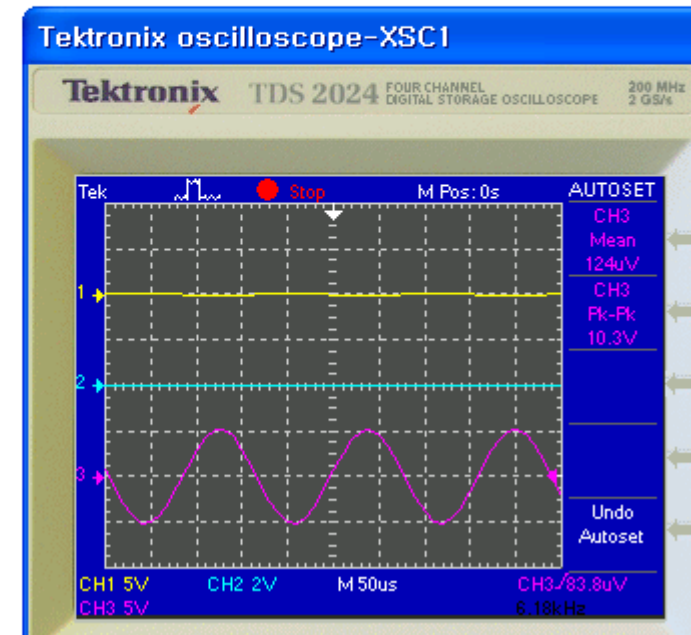
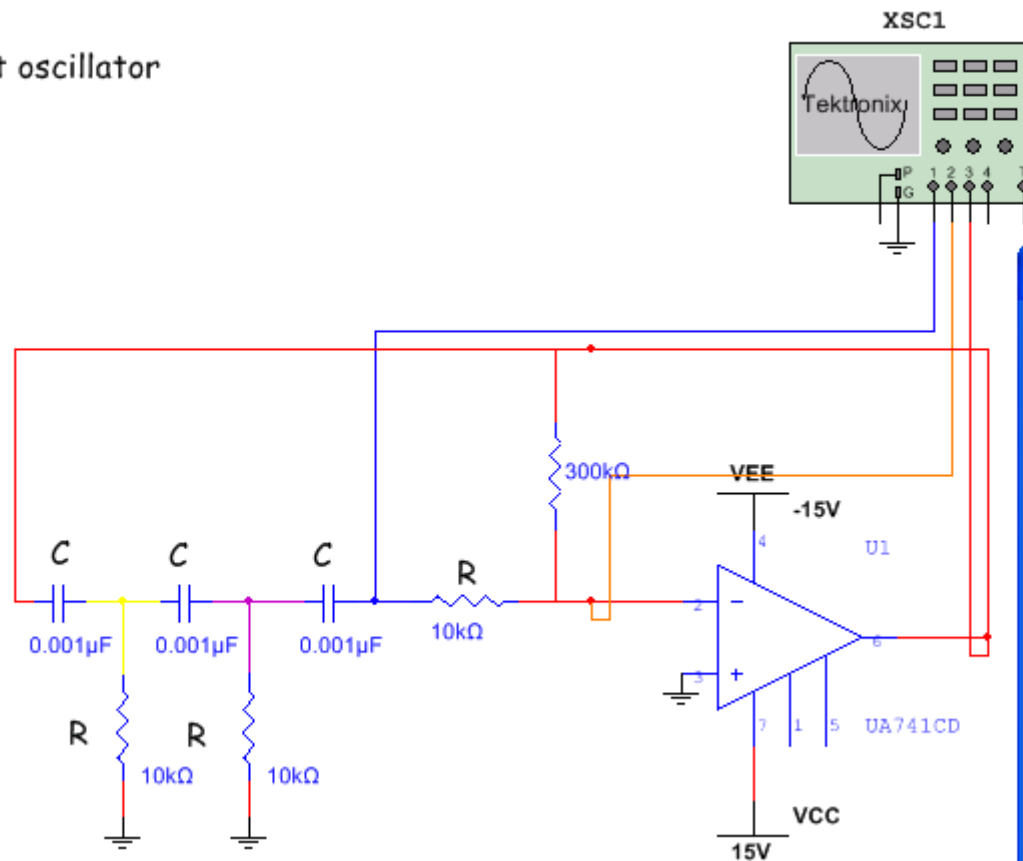
$$f_r = \frac{1}{2\pi\sqrt{6}RC}$$

$$= \frac{1}{2\pi\sqrt{6}(10 \text{ k}\Omega)(0.001 \mu\text{F})} \cong \mathbf{6.5 \text{ kHz}}$$

Phase-Shift Oscillator -시뮬레이션

Yun SeopYu

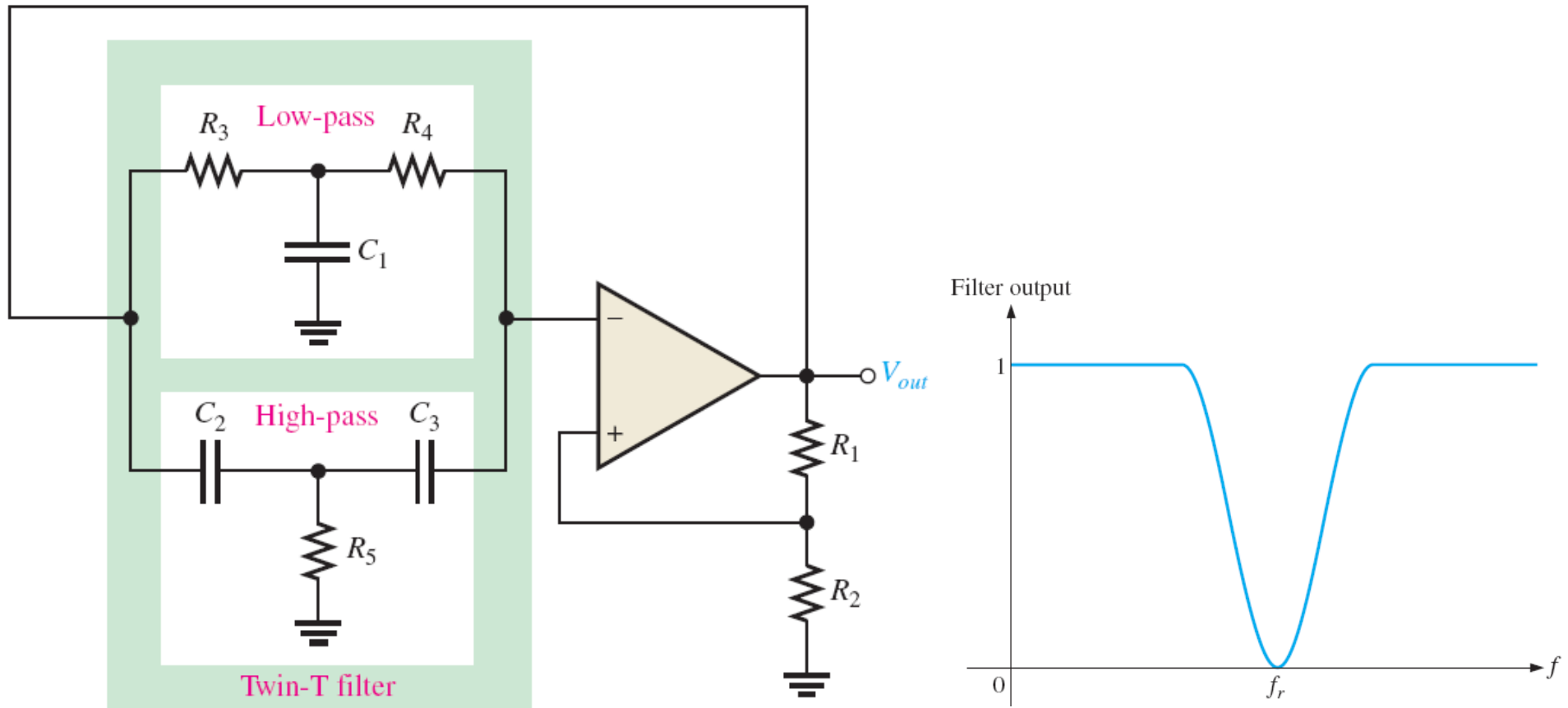
Phase shift oscillator



Twin-T Oscillator

Yun SeopYu

- 트윈 T-형 발진기(Twin-T Oscillator): 두 개의 T형 RC 필터 채용
 - LPF + HPF : Band-Stop Filter(notch filter)
 - f_r 에서 공진



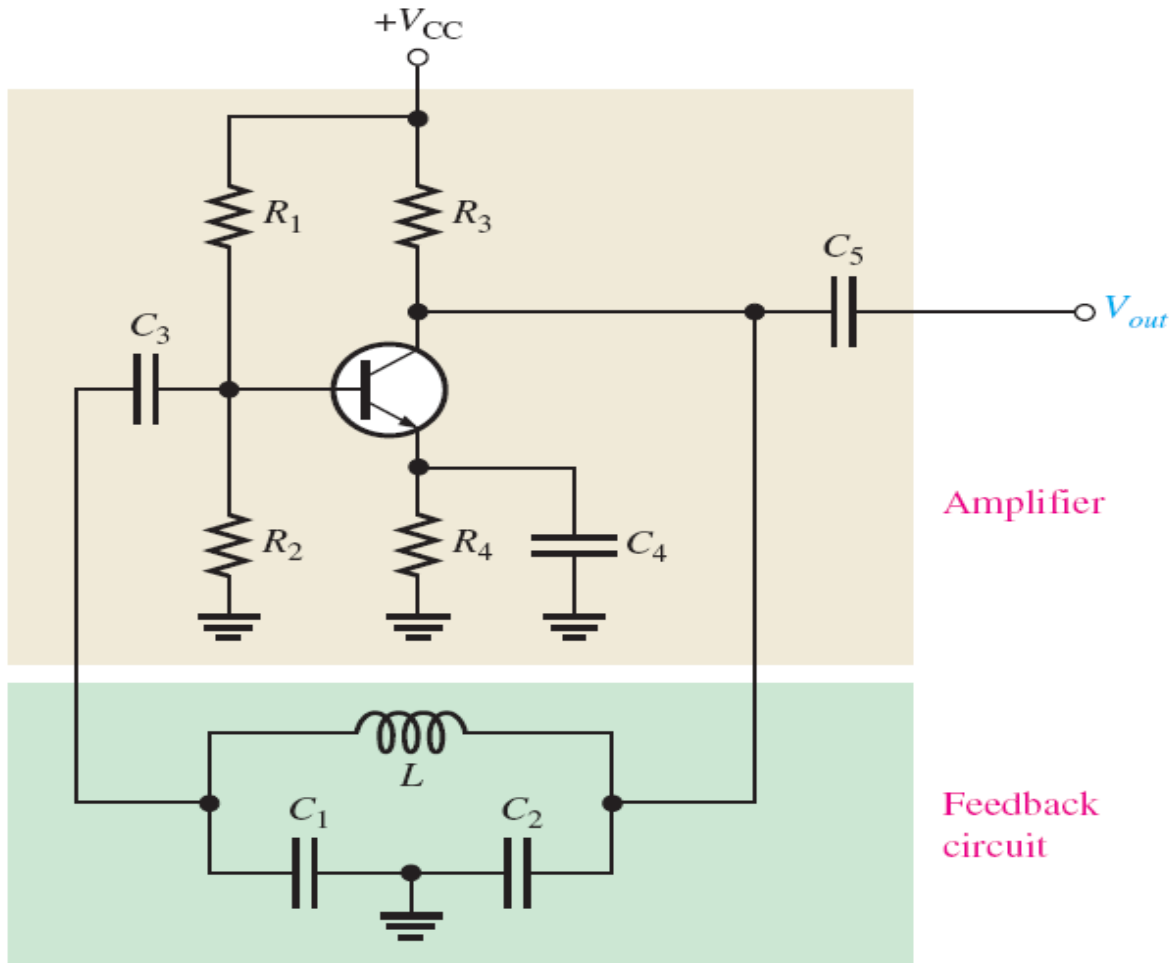
Oscillators with LC feedback circuits

Yun SeopYu

- ❁ 원브리지 발진기 : $f_r < 1 \text{ Mhz}$
- ❁ LC 귀환 발진기(LC feedback oscillator): $f_r > 1 \text{ Mhz}$
(고주파 발진)
 - ❁ 연산증폭기 주파수 제한으로 BJT, FET을 사용되기도 함
 - ❁ 종류: 콜피츠 (Colpitts), 클랩 (Clapp), 하틀리 (Hartley), 암스트롱 (Armstrong), 수정 발진기 (crystal-controlled) oscillators

Colpitts Oscillator

- Colpitts가 발명
- LC 귀환 회로 : 위상 변이 + 공진 필터



공진주파수

$$f_r \cong \frac{1}{2\pi\sqrt{LC_T}}$$

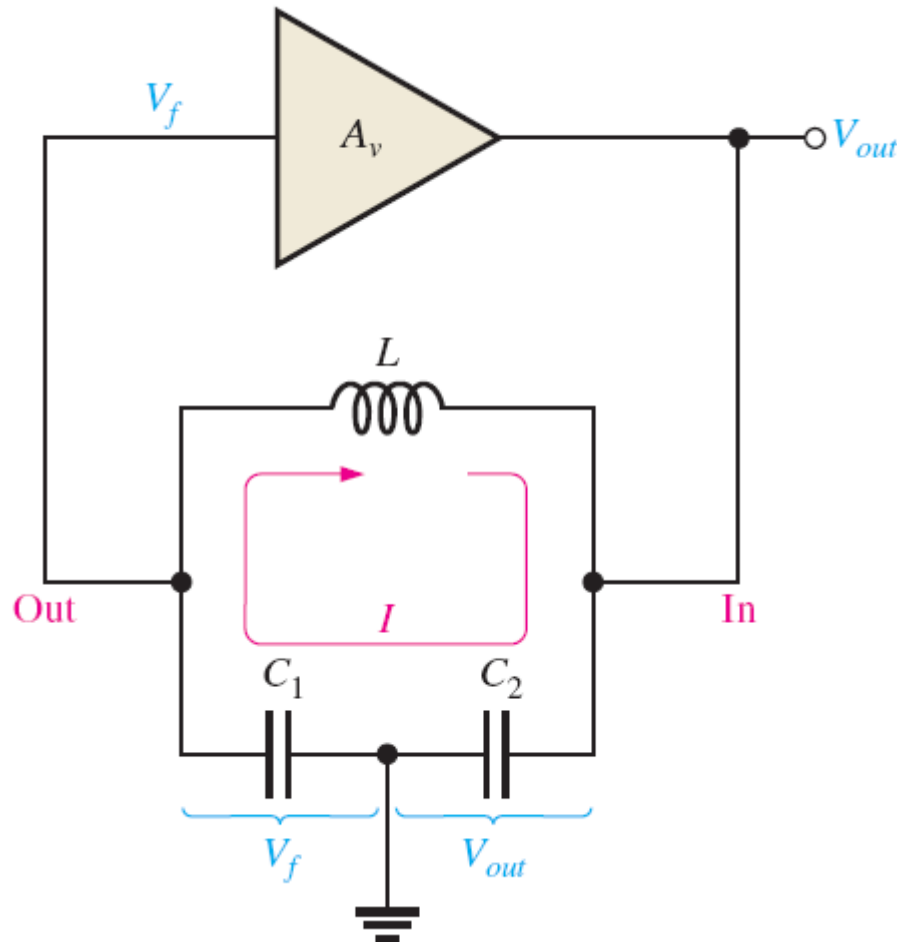
$$C_T = \frac{C_1 C_2}{C_1 + C_2}$$

← C₁과 C₂는 직렬

Colpitts Oscillator

발진과 시동조건

- LC 탱크회로 귀환 감쇄율 B : C_1 , C_2 값에 의 결정



$$B = \frac{V_f}{V_{out}} \cong \frac{IX_{C1}}{IX_{C2}} = \frac{X_{C1}}{X_{C2}} = \frac{1/(2\pi f_r C_1)}{1/(2\pi f_r C_2)}$$

$$B = \frac{C_2}{C_1}$$

a condition for oscillation is $A_v B = 1$.

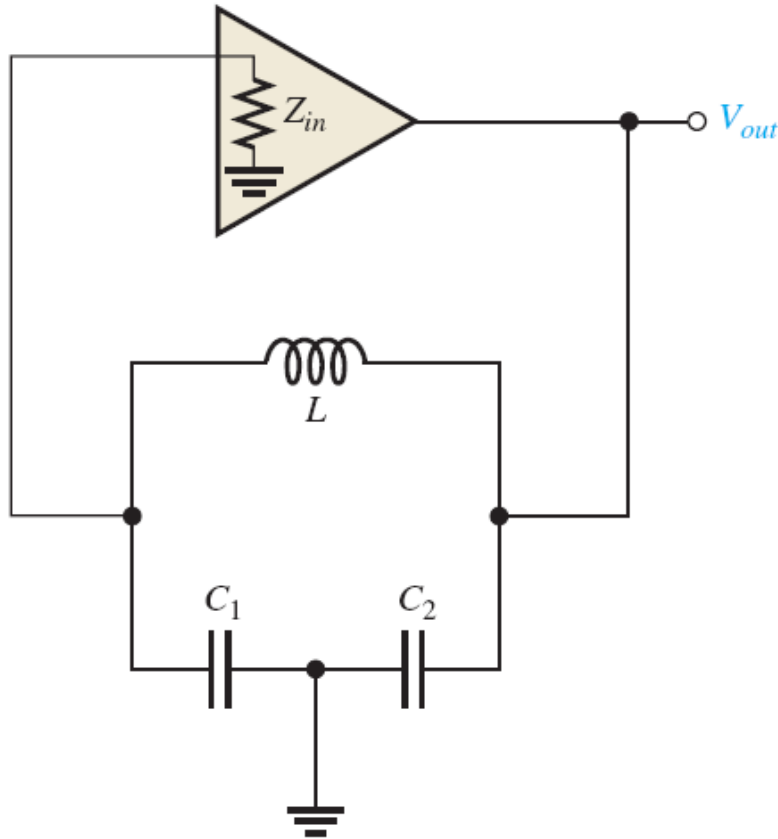
$$A_v = \frac{C_1}{C_2}$$

- 초기 시동조건: $A_v B > 1$
 $\rightarrow A_v > C_1/C_2$

Colpitts Oscillator

Yun SeopYu

- **귀환회로의 부하가 발진주파수에 미치는 영향**
 - ❖ 증폭기의 입력임피던스 Z_{in} 이 LC 탱크회로(공진 귀환 회로)의 부하로 동작 \rightarrow 회로의 Q를 감소 \rightarrow 발진주파수 감소 (Q값에 의존)



$$f_r = \frac{1}{2\pi\sqrt{LC_T}} \sqrt{\frac{Q^2}{Q^2 + 1}}$$

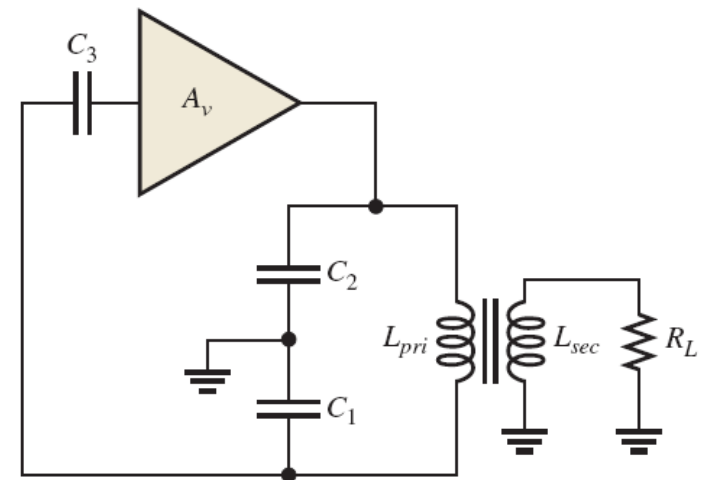
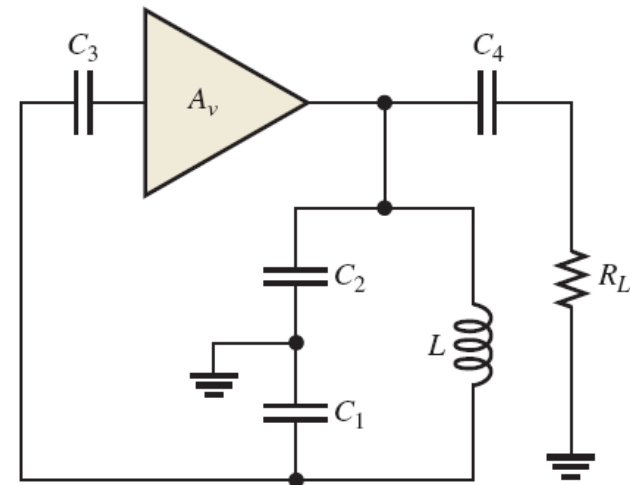
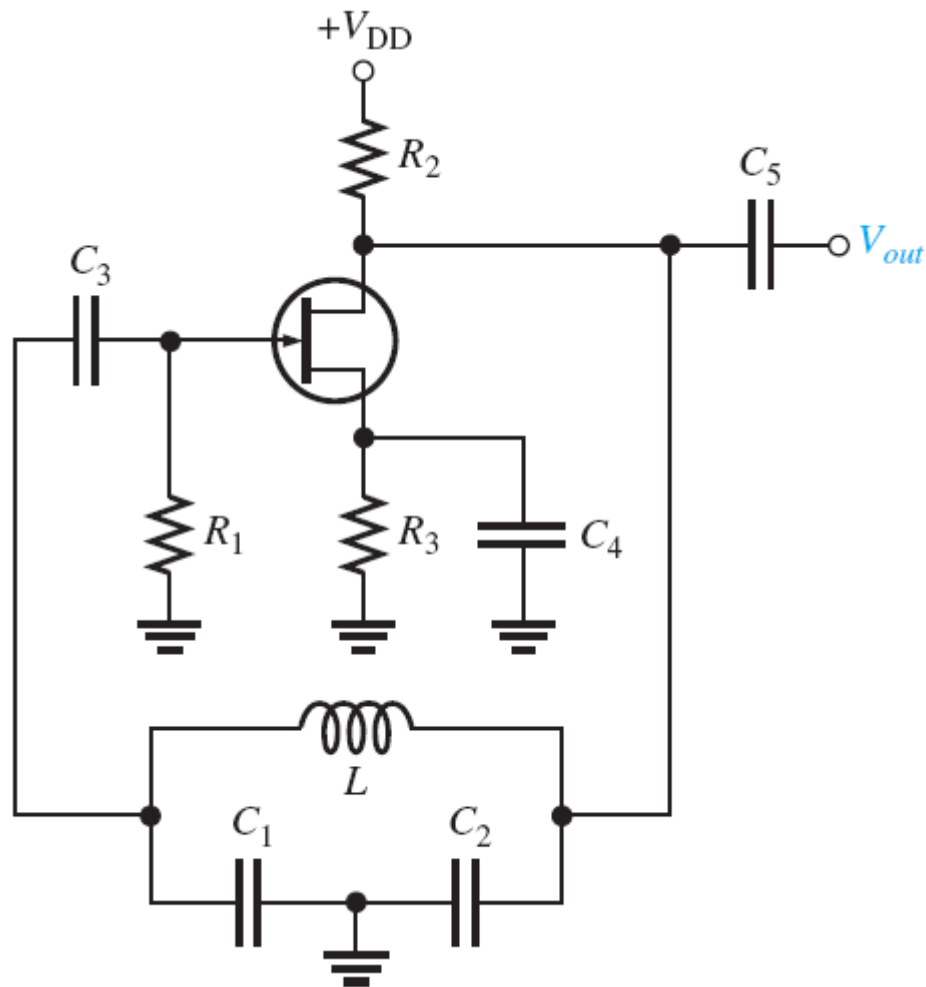
$$- Q > 10 : f_r = \frac{1}{2\pi\sqrt{LC_T}}$$

- $Q < 10$: f_r 현저히 감소

Colpitts Oscillator

❖ FET을 이용한 콜피츠 발진기

- ❖ FET이 입력 임피던스가 높기 때문에 임피던스 부하 효과를 최소화 가능

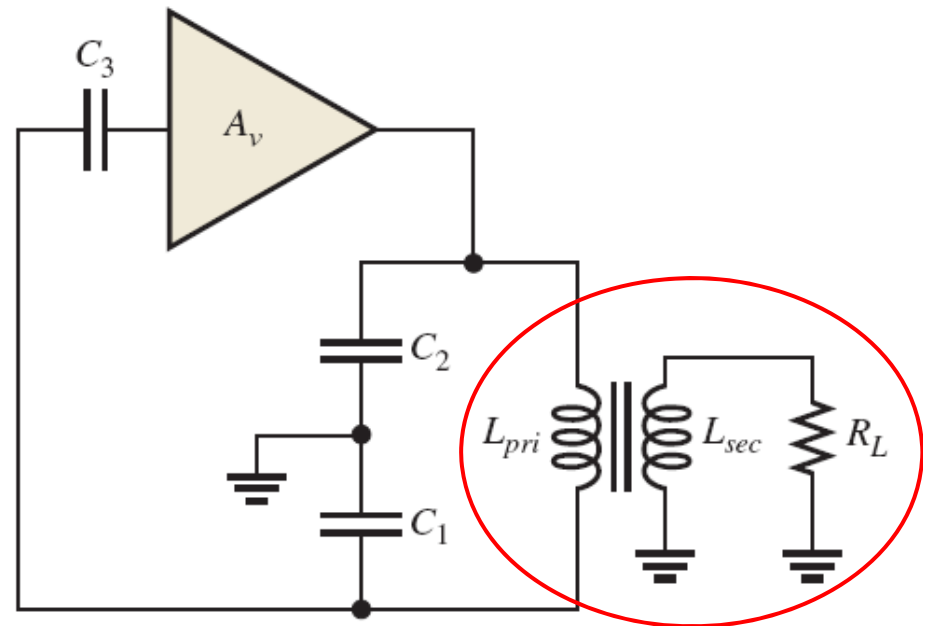
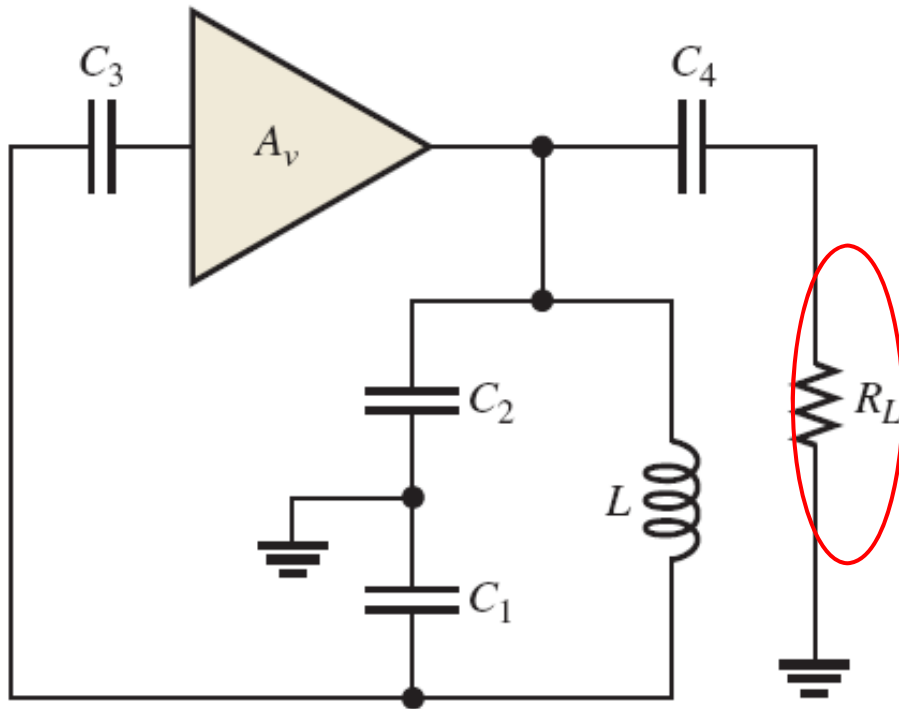


Colpitts Oscillator

Yun SeopYu

콜피츠 발진기 외부 부하효과

외부 부하 \rightarrow Q 감소 \rightarrow f_r 감소 \rightarrow 해결방안 : 변압기 결합



Colpitts Oscillator- 예제 16-3

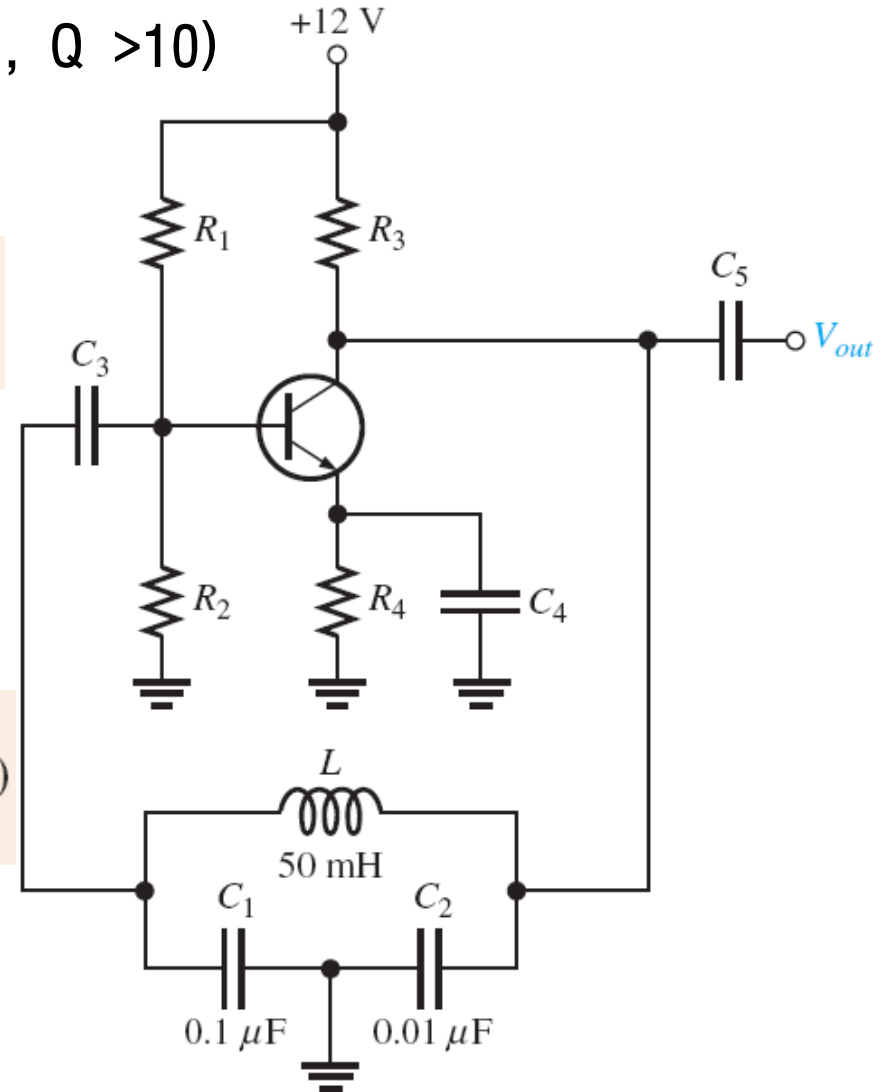
예제 16-3:

- ❖ f_r ? (단, 귀환회로 부하효과 무시, $Q > 10$)
- ❖ $Q = 8$ 로 감소 $\rightarrow f_r$?

$$C_T = \frac{C_1 C_2}{C_1 + C_2} = \frac{(0.1 \mu\text{F})(0.01 \mu\text{F})}{0.11 \mu\text{F}} = 0.0091 \mu\text{F}$$

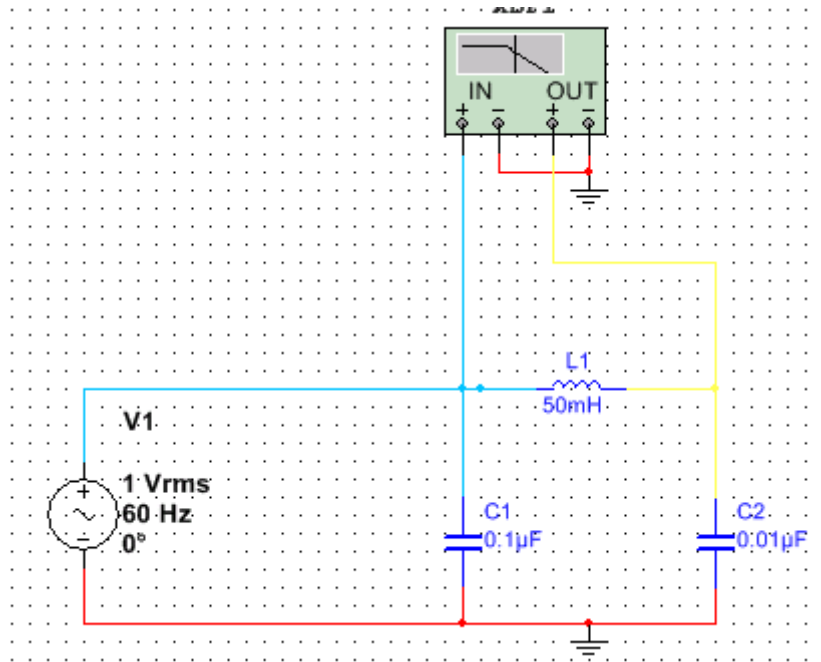
$$f_r \cong \frac{1}{2\pi \sqrt{LC_T}} = \frac{1}{2\pi \sqrt{(50 \text{ mH})(0.0091 \mu\text{F})}} = 7.46 \text{ kHz}$$

$$f_r = \frac{1}{2\pi \sqrt{LC_T}} \sqrt{\frac{Q^2}{Q^2 + 1}} = (7.46 \text{ kHz})(0.9923) = 7.40 \text{ kHz}$$

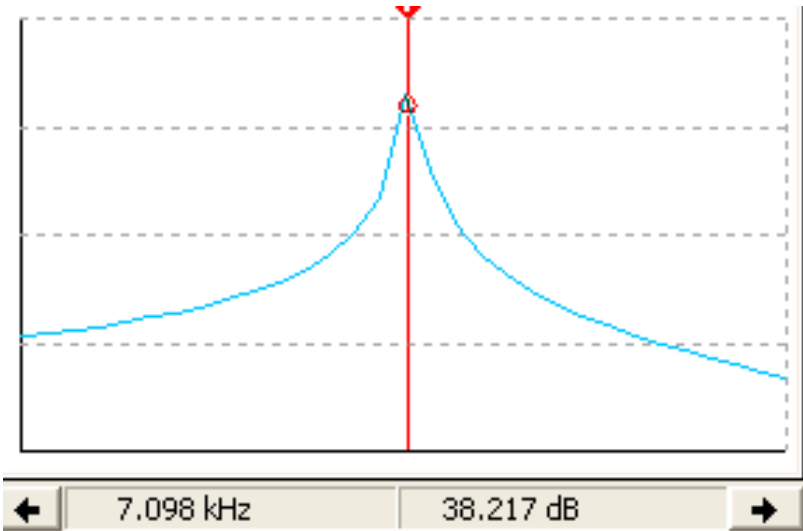


Colpitts Oscillator – 공진 필터

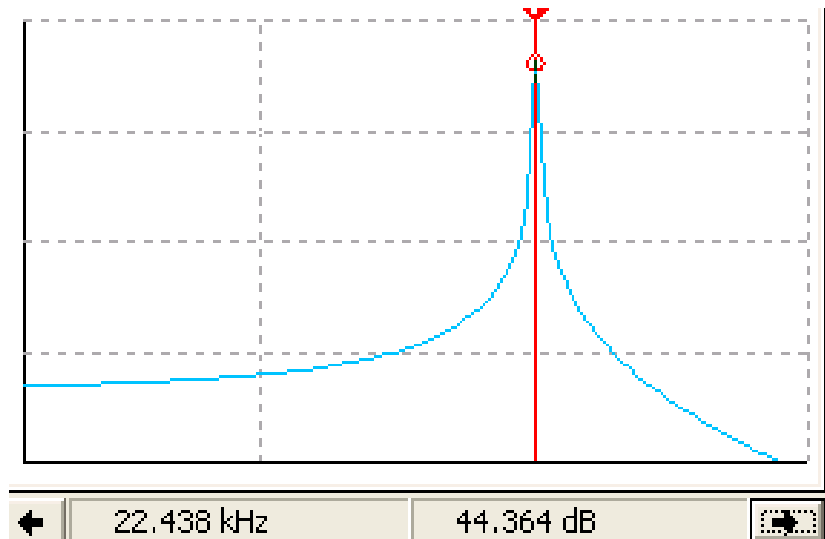
Yun SeopYu



$$L_1 = 50 \text{ mH} \rightarrow f_r = 7.1 \text{ kHz}$$



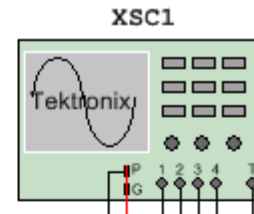
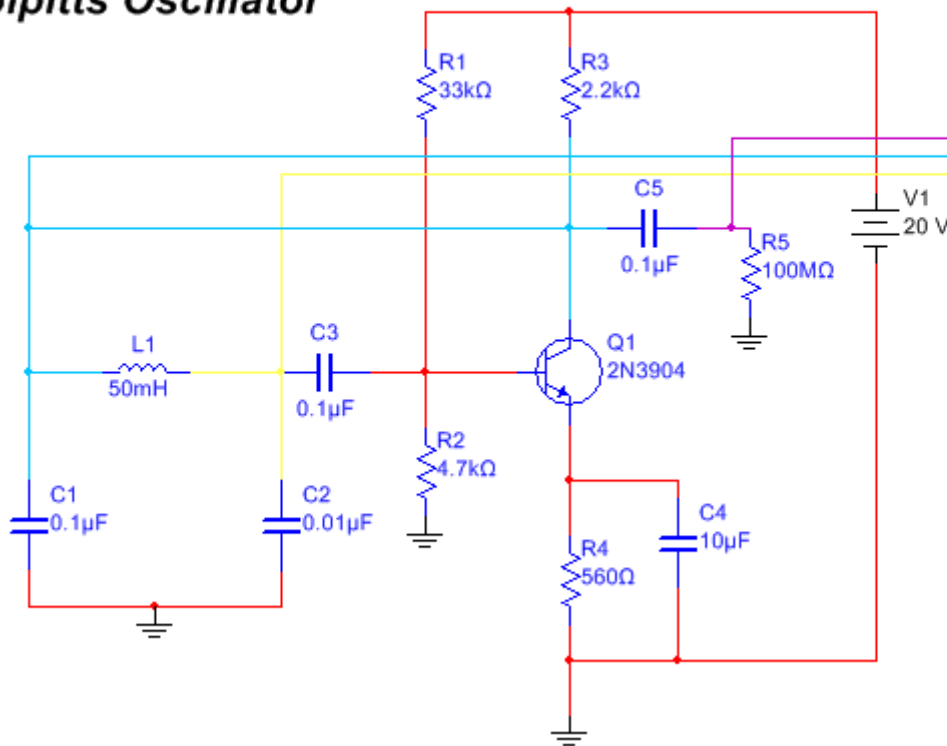
$$L_2 = 5 \text{ mH} \rightarrow f_r = 22.4 \text{ kHz}$$



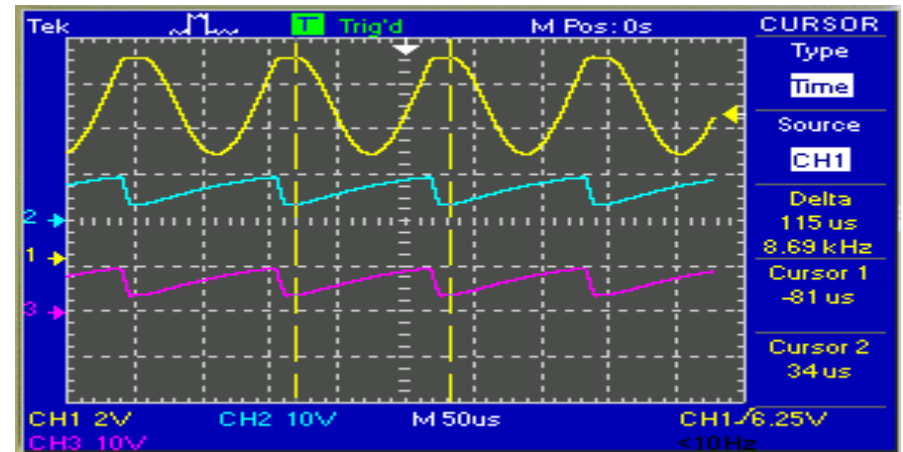
Colpitts Oscillator- 예제 16-3

Yun SeopYu

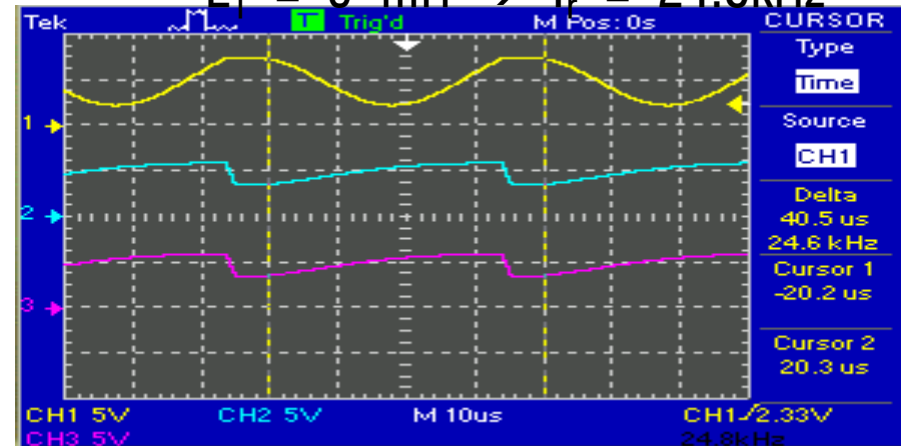
Colpitts Oscillator



$$L_1 = 50 \text{ mH} \rightarrow f_r = 8.69 \text{ kHz}$$

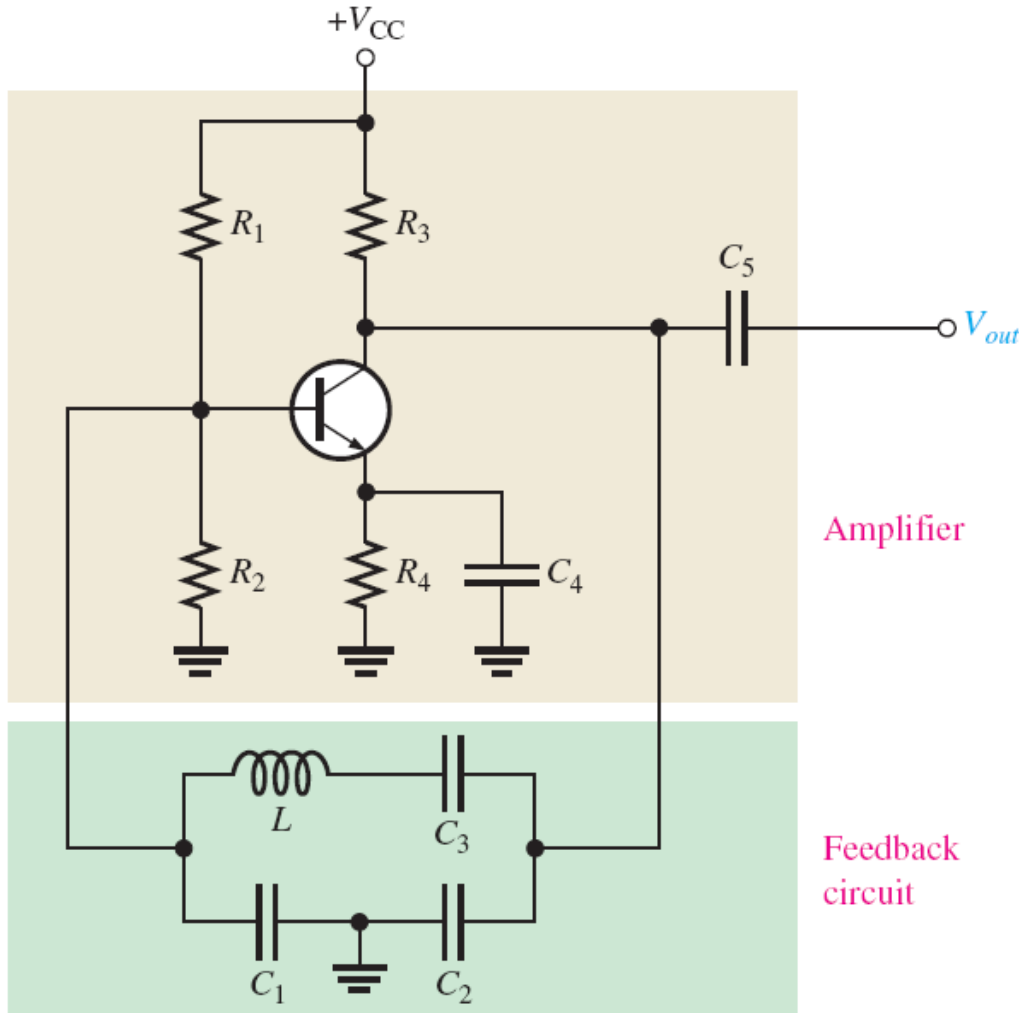


$$L_1 = 5 \text{ mH} \rightarrow f_r = 24.8 \text{ kHz}$$



Clapp Oscillator

클랩 발진기(Clapp Oscillator): 콜핀츠 발진기의 변형



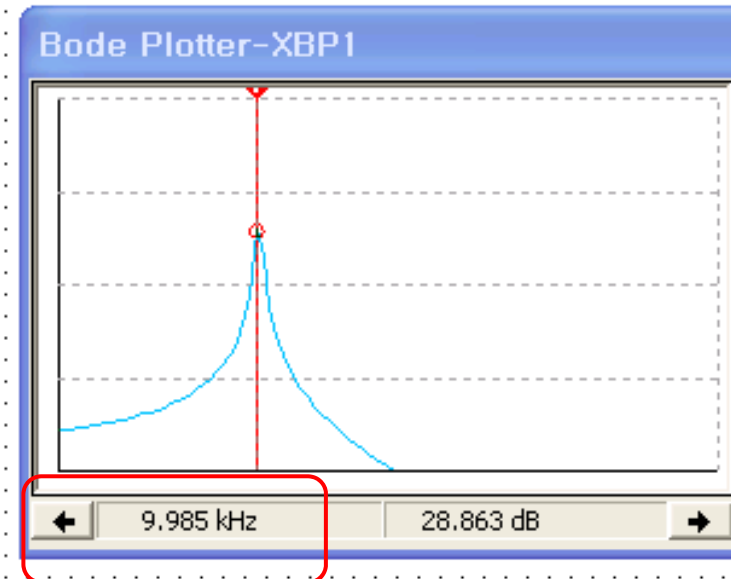
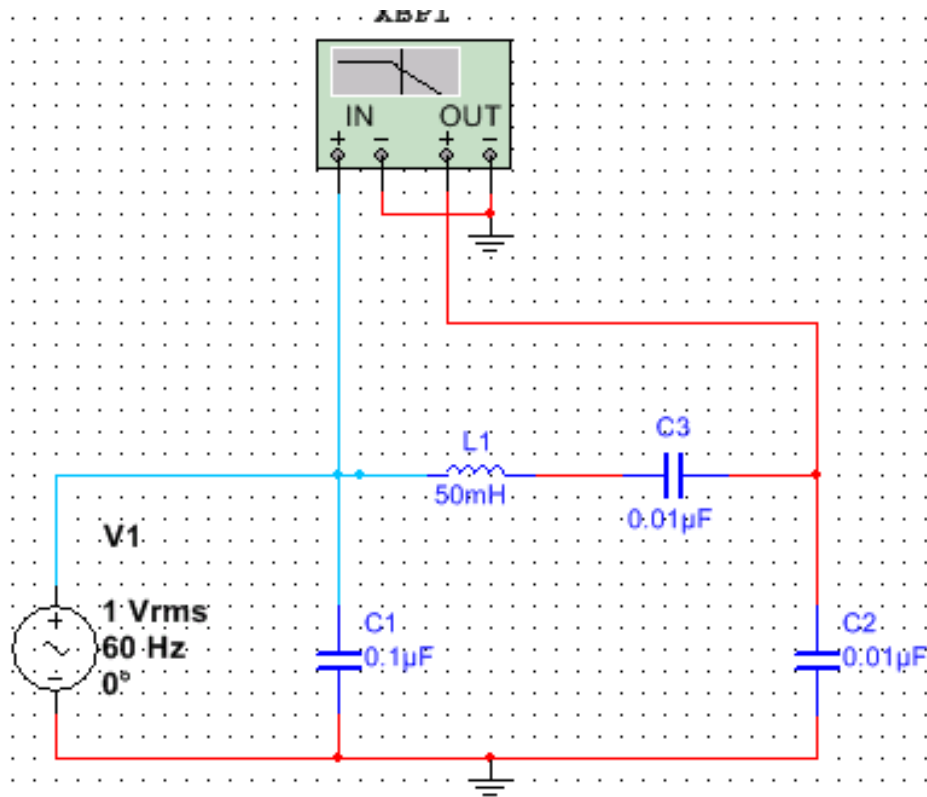
$$C_T = \frac{1}{\frac{1}{C_1} + \frac{1}{C_2} + \frac{1}{C_3}}$$

← C_1, C_2, C_3 는 직렬

- C_1 과 C_2 는 접지와 연결
- C_1 은 BJT C_{be} 와 병렬
- C_2 는 BJT C_{ce} 와 병렬
- C_1 과 C_2 는 BJT와 기생 캐패시터 영향 받음
- C_3 은 영향없어서 C_3 로 정확하고 안정된 발진 주파수 발생

Clapp Oscillator – 공진 필터

Yun SeopYu



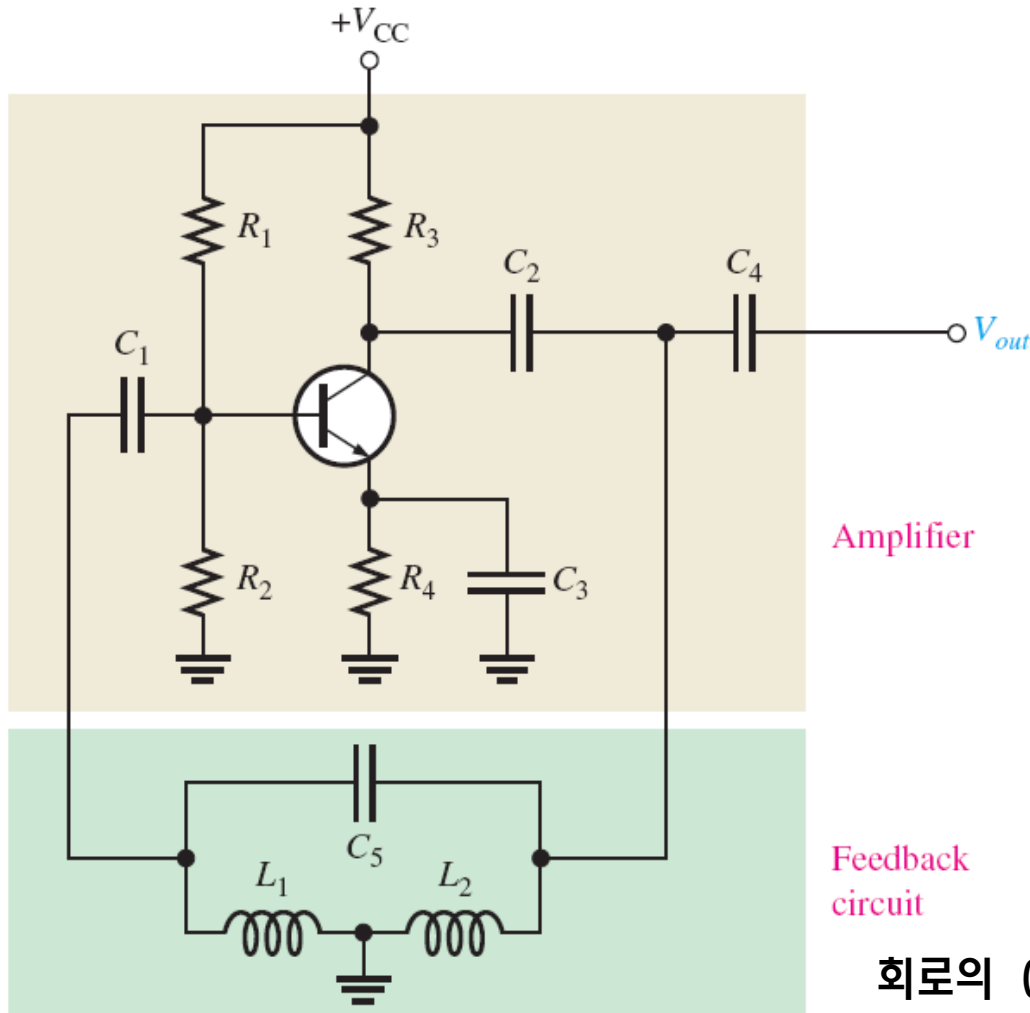
f_r

$$C_T = \frac{1}{\frac{1}{C_1} + \frac{1}{C_2} + \frac{1}{C_3}} = \frac{1}{\frac{1}{0.1u} + \frac{1}{0.01u} + \frac{1}{0.01u}} = 0.0048uF$$

$$f_r = \frac{1}{2\pi\sqrt{LC_T}} = \frac{1}{2\pi\sqrt{(50m)(0.0048u)}} = 10.3kHz$$

Hartley Oscillator

하트리 발진기(Hartley Oscillator)



$$f_r \cong \frac{1}{2\pi\sqrt{L_T C}}$$

$$L_T = L_1 + L_2$$

$$B \cong \frac{L_1}{L_2}$$

a condition for oscillation is $A_v B = 1$.

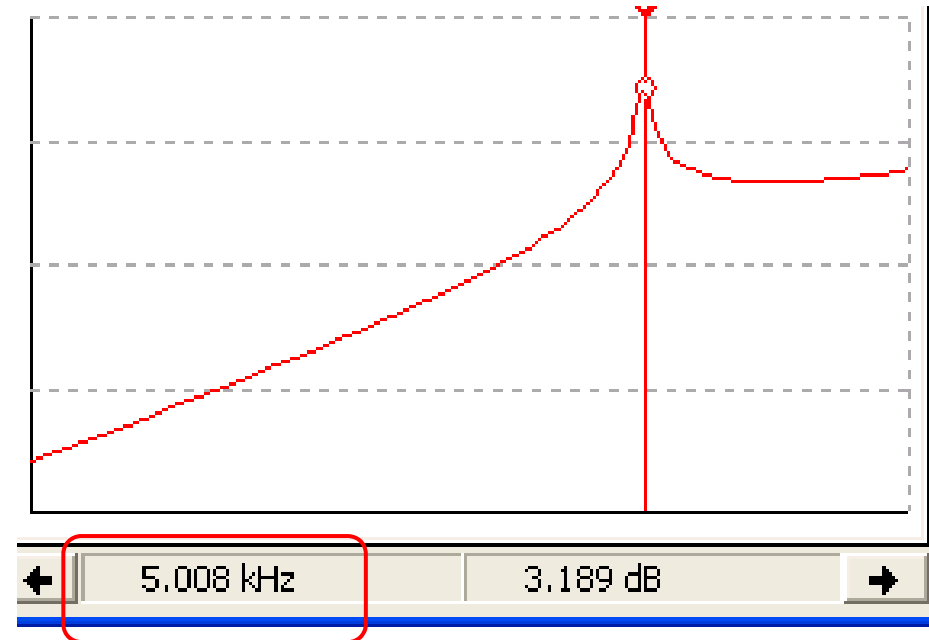
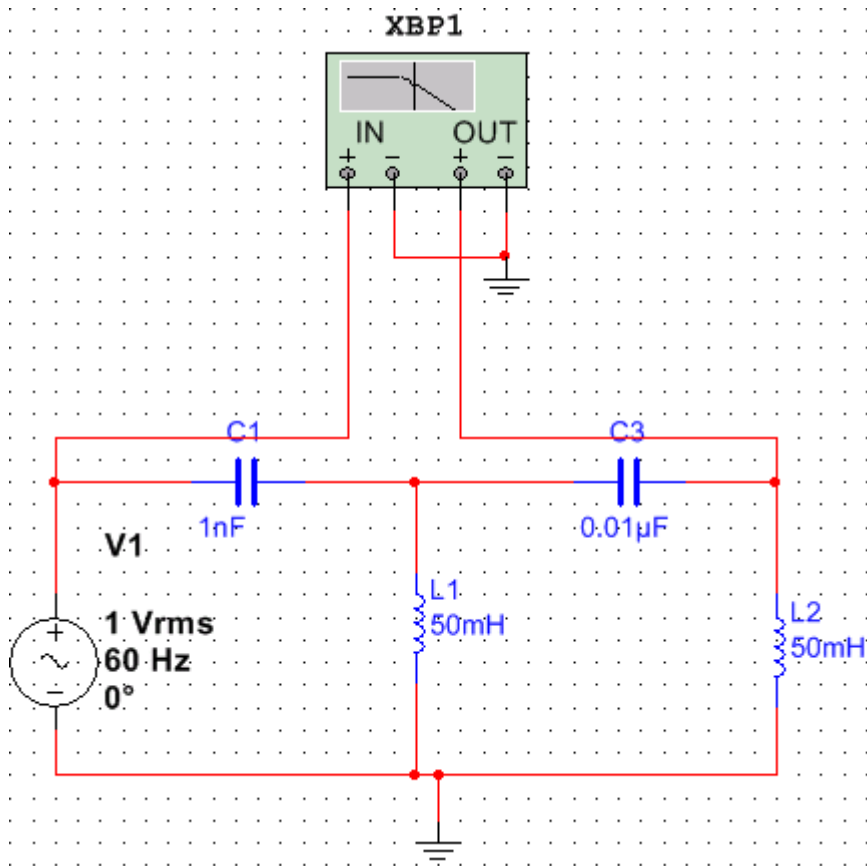
$$A_v \cong \frac{L_2}{L_1}$$

- 초기 시동조건: $A_v B > 1$

$$\rightarrow A_v > L_2/L_1$$

회로의 Q를 감소 \rightarrow 발진주파수 감소 (Q값에 의존)

Hartley Oscillator- 공진 필터



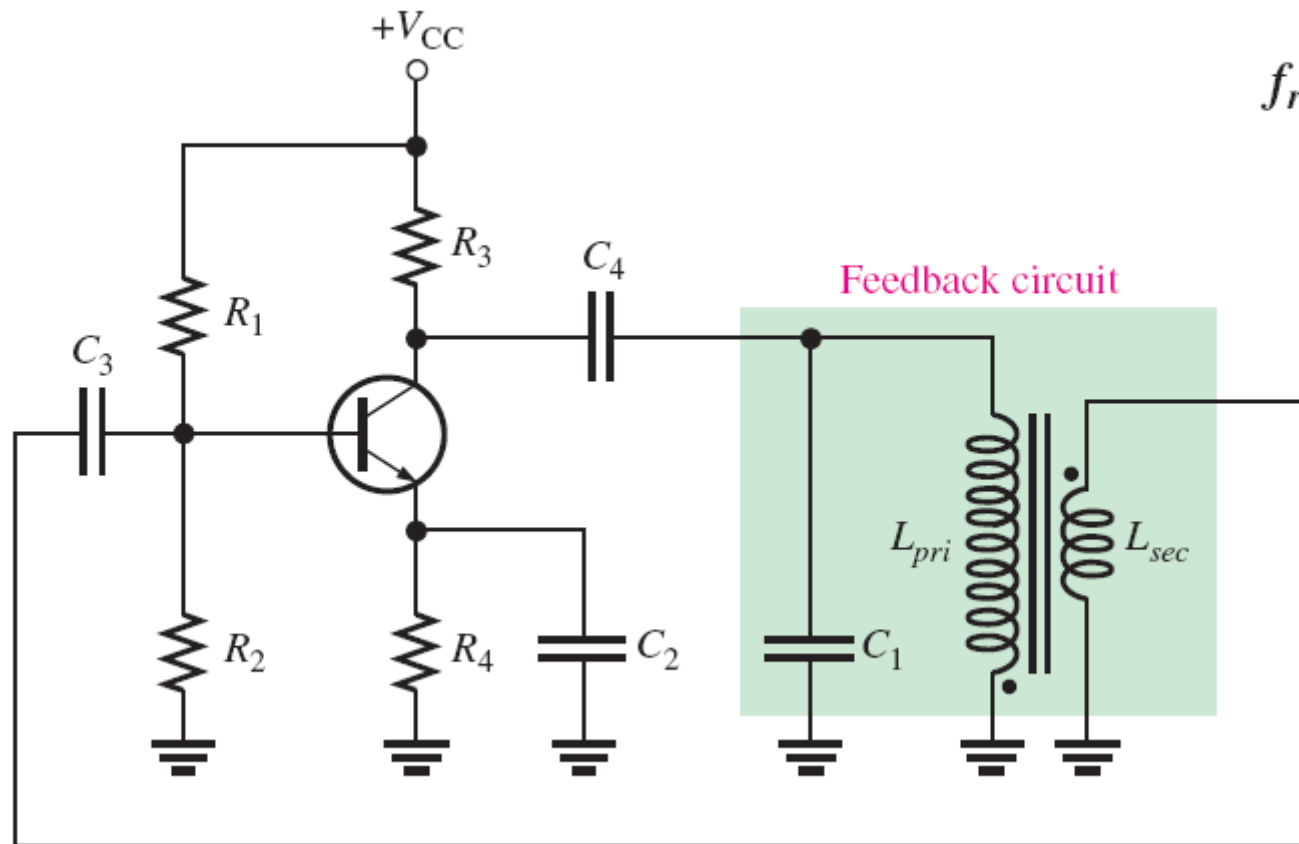
$$L_T = L_1 + L_2 = 50m + 50m = 100mH$$

$$f_r = \frac{1}{2\pi\sqrt{L_T C}} = \frac{1}{2\pi\sqrt{(100m)(0.01u)}} = 5kHz$$

Armstrong Oscillator

Yun SeopYu

- ❁ 암스트롱 발진기(Armstrong Oscillator): 귀환회로에 변압기 결합



$$f_r = \frac{1}{2\pi \sqrt{L_{pri}C_1}}$$

2차 코일: 재생 코일(tickler coil)